

CENTRAL_ITALY

INT-20221109_0000046

2022-11-09 06:07:27

Nome evento:	CENTRAL_ITALY
ESM ID:	INT-20221109_0000046
ID EMSC:	20221109_0000046
ID ISC:	625166010
ID INGV:	33301831
ID USGS:	us7000infp
CPTI15 ID:	

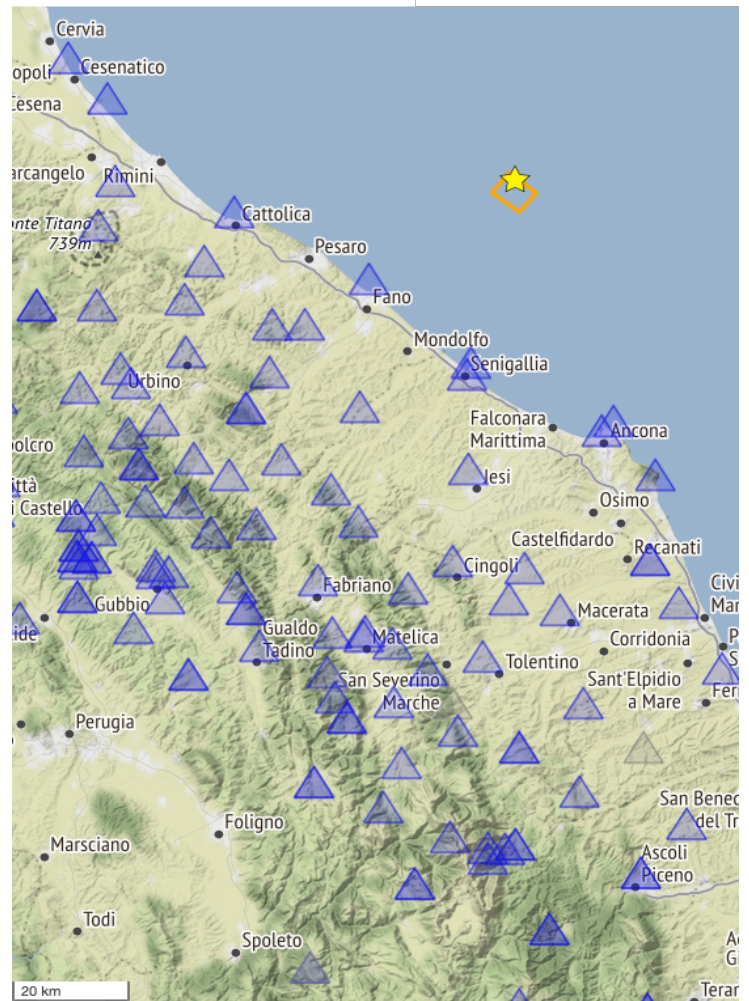
Parametri dell'evento

Latitudine [°]: 44.013
Longitudine [°]: 13.324
Profondità [Km]: 7.600
Magnitudo momento: 5.5
Meccanismo focale:
Momento sismico [dyne · cm]:
Note:

Geometria di faglia

Latitudine dell'angolo UL [°]: 44.046
Longitudine dell'angolo UL [°]: 13.313
Fault length [km]: 5.9
Fault width [km]: 5.7
Depth of the fault top [km]: 4.40
Strike [°]: 128.0
Dip [°]: 34.0
Rake [°]: 84.0
Latitudine [°]: 44.0130
Longitudine [°]: 13.3235
Profondità [km]: 7.600
Note:

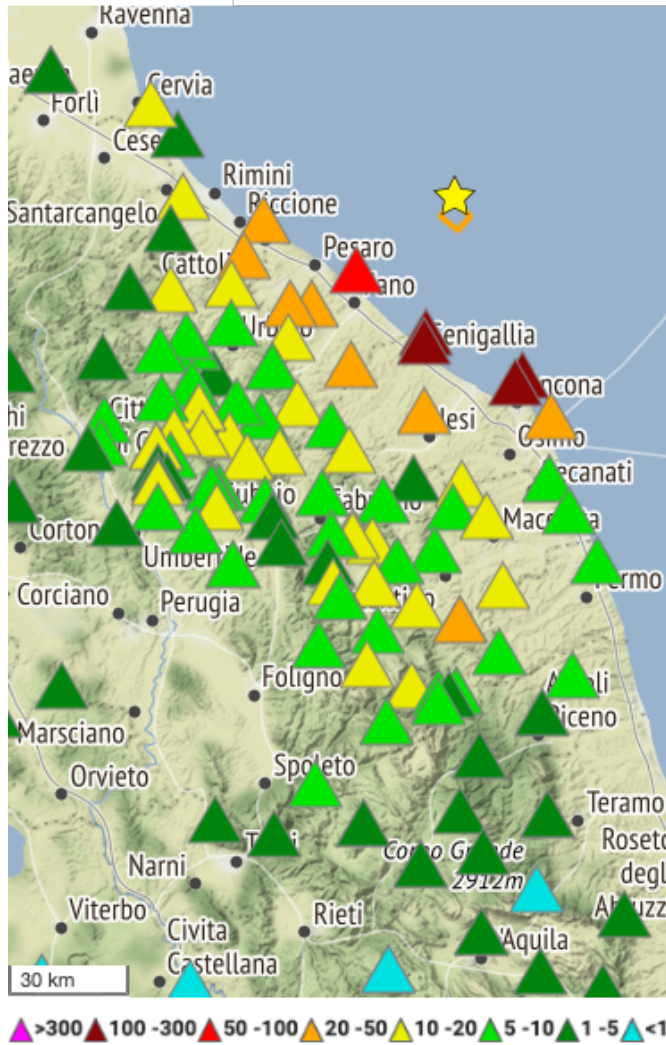
CENTRAL_ITALY (INT-20221109_0000046)



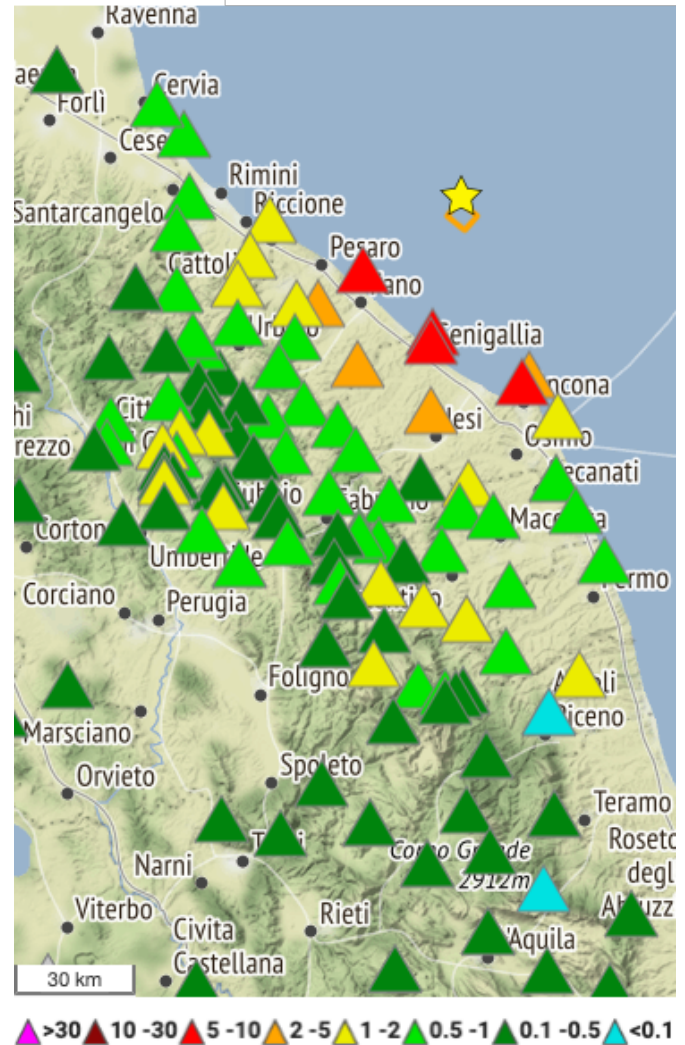
▲ Elaborazione manuale
 ▲ Elaborazione automatica
 ▲ Segnale di cattiva qualità

Componenti orizzontali

PGA-H [cm/s²]

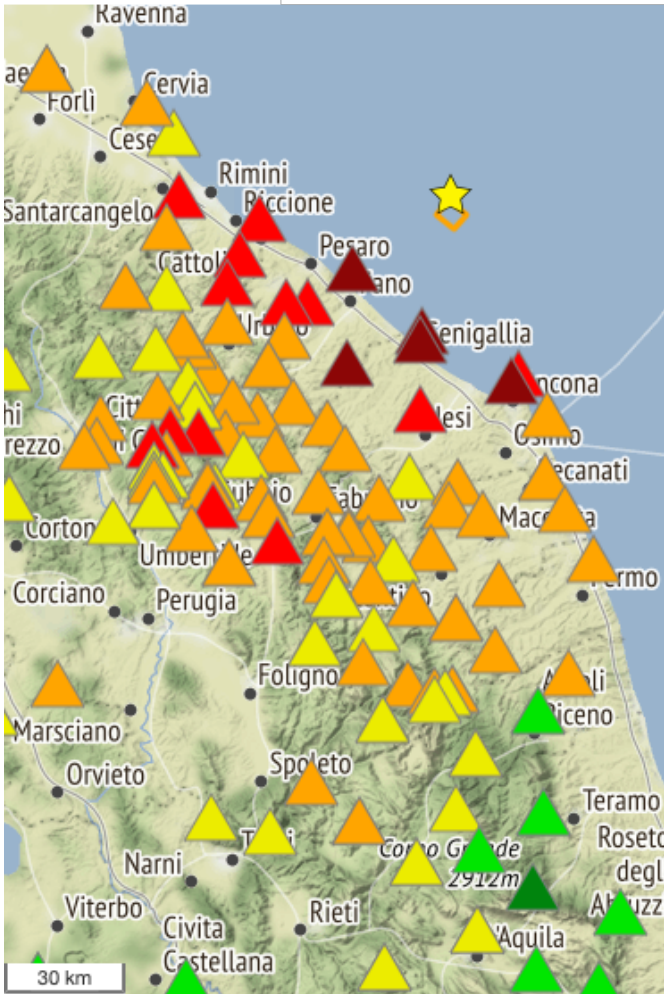


PGV-H [cm/s]

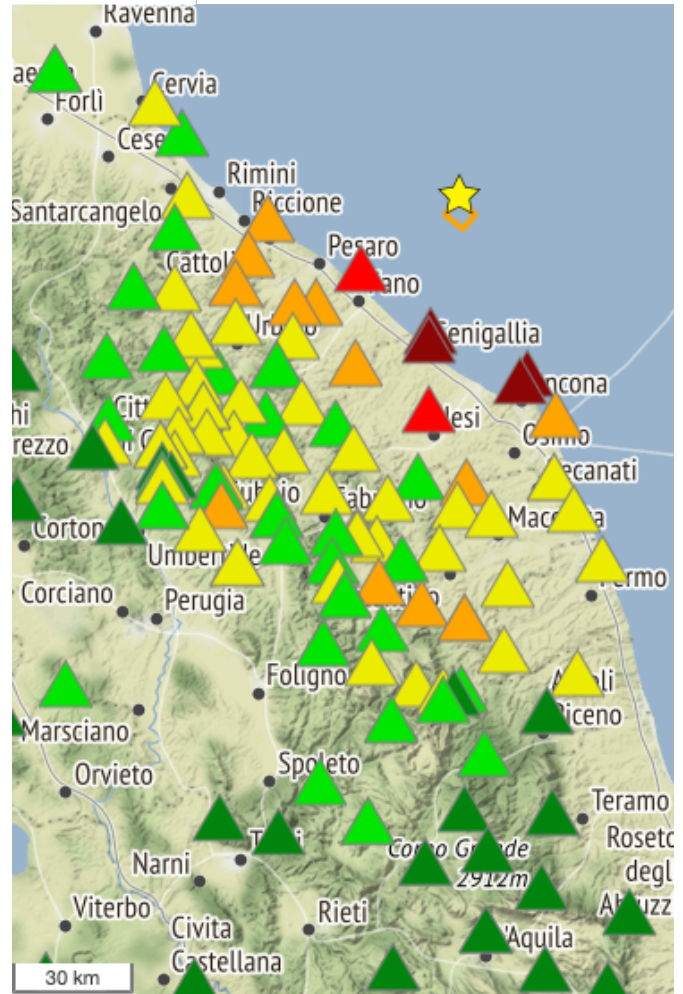


SA-H T=1s [cm/s²]

IA-H [cm/s]



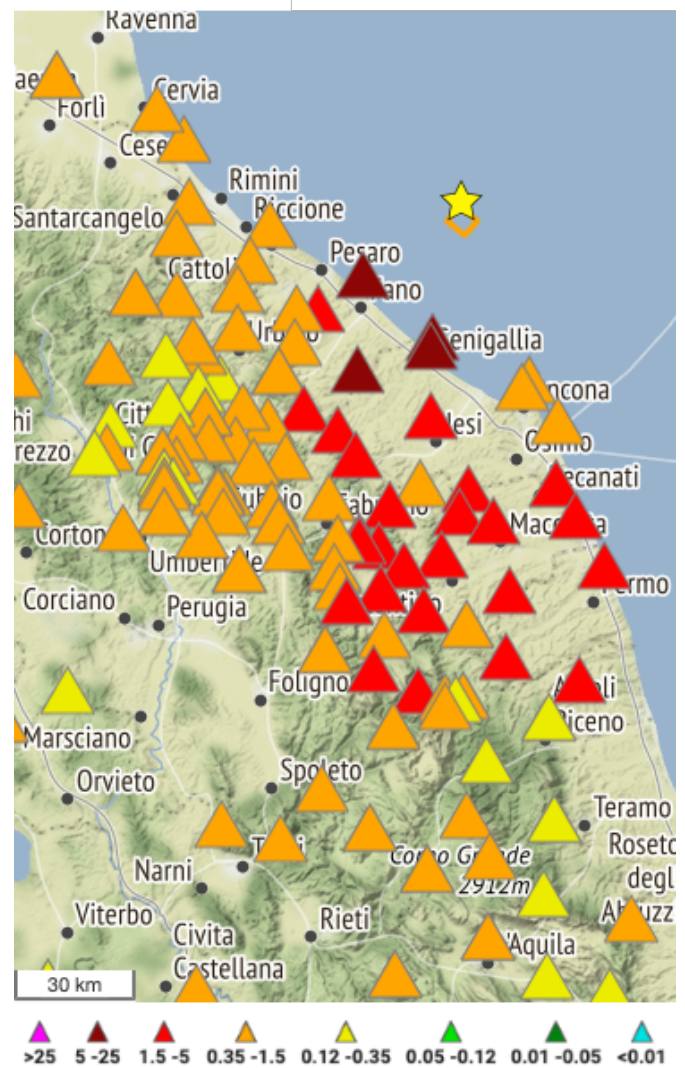
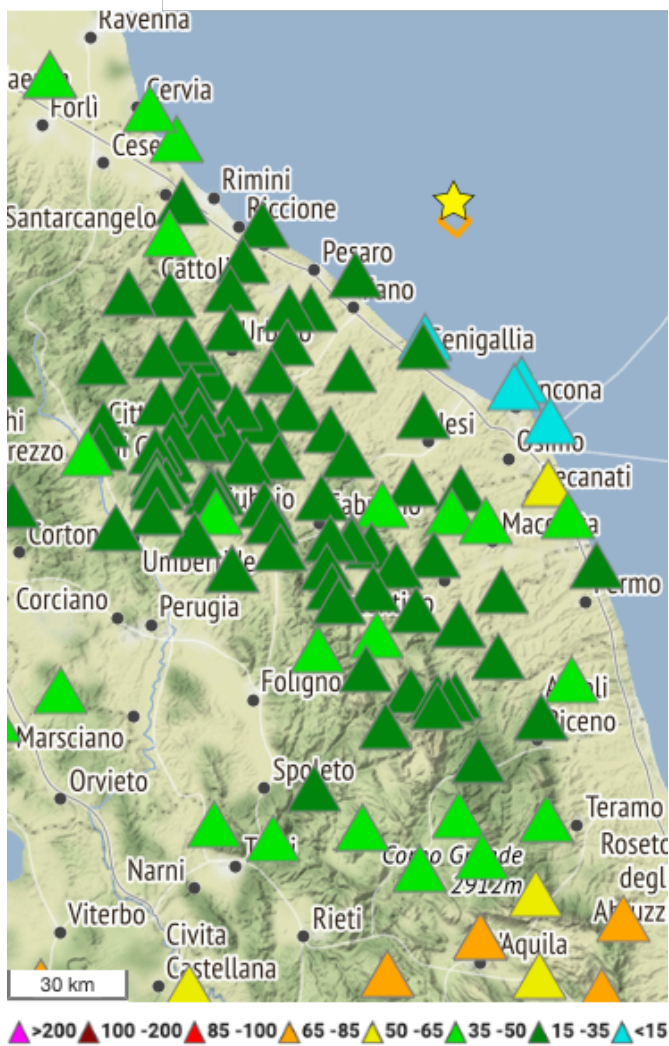
▲ >150
 ▲ 50 -150
 ▲ 15 -50
 ▲ 5 -15
 ▲ 2.5 -5
 ▲ 1 -2.5
 ▲ 0.25 -1
 ▲ <0.25



▲ >100
 ▲ 10 -100
 ▲ 2 -10
 ▲ 0.5 -2
 ▲ 0.075 -0.5
 ▲ 0.02 -0.075
 ▲ 1e-5 -0.02
 ▲ <1e-5

T90-H [s]

SA-H T=5s [cm/s²]



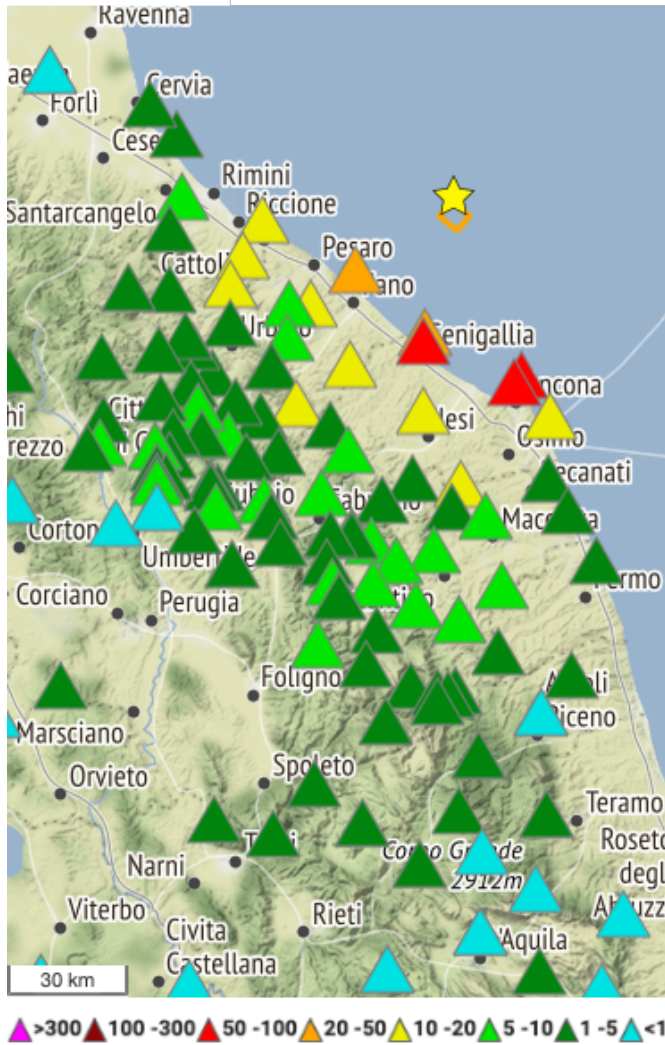
Dati registrazioni orizzontali

Rete	Staz	Sens	Inst	EC8	Metodo	Vs30 [m/s]	Repi [km]	Rhyp [km]	PGA-H [cm/s ²]	PGV-H [cm/s]	SA-H T=1s [cm/s ²]	IA-H [cm/s]	T90-H [s]	SA-H T=5s [cm/s ²]
IV	FANO		HN	C	Topografia	321	30.9	31.8	52.61	7.556	95.72	4.902	19.92	5.796
IV	SENI		HN	C	Prova geofisica	242	35.0	35.8	139.2	9.335	66.45	26.86	11.51	8.931
IT	SNG	00	HG	C	Prova geofisica	258	37.2	38.0	130.3	9.014	124.8	22.87	16.56	7.075
IV	CRTC		HN	A	Topografia	1005	44.6	45.3	22.41	2.258	25.86	1.099	20.99	1.667
IT	CTL	00	HN	C	Prova geofisica	208	47.6	48.2	31.75	1.599	30.13	1.845	34.08	0.9854
IV	PCRO		HN	B	Geologia di superficie		48.1	48.7	197.8	3.998	17.20	19.37	6.255	0.9094
IT	ANB	00	HG	B	Geologia di superficie		49.0	49.6	166.4	8.329	50.97	22.48	10.14	1.475
IV	FCOR		HN	B	Topografia	370	49.1	49.6	21.80	1.401	15.13	0.7068	18.92	1.040
IV	COR1		HN	D	Geologia di superficie		49.7	50.3	31.61	2.447	64.28	1.800	26.30	8.387
IT	JESI	00	HN	B	Topografia	415	54.3	54.8	38.41	3.361	22.33	2.050	23.90	4.478
IT	SLD	00	HG	B	Geologia di superficie		54.4	54.9	34.43	1.697	18.46	1.701	24.69	1.445
IT	FSS	00	HG	B	Geologia di superficie		54.7	55.2	12.35	0.5437	7.096	0.2439	19.71	1.085
IV	MCIF		HN	B	Topografia	495	59.9	60.4	13.94	1.267	18.73	0.5072	28.92	1.335
IT	SRL	00	HG	C	Prova geofisica	272	59.9	60.4	30.83	1.186	7.113	1.340	13.61	0.7155
IV	MPAG		HN	A	Geologia di superficie		62.3	62.7	5.325	0.650	6.252	0.06278	18.79	0.9731
IV	MPAG		EH	A	Geologia di superficie		62.3	62.7	5.059	0.6063	6.018	0.06014	22.26	1.061
IT	URBI	00	HN	A	Topografia	814	64.0	64.4	6.743	0.5217	7.333	0.09175	23.33	0.702
IT	PRGL	00	HN	B	Topografia	368	65.1	65.6	14.03	0.7421	9.271	0.4429	22.52	1.614
IT	ARCV	00	HN	A	Topografia	1018	65.3	65.8	6.127	0.6739	5.207	0.07126	28.10	1.541
IT	RIM	00	HN	B	Geologia di superficie		67.2	67.6	10.35	0.768	17.99	0.2446	25.86	1.195
IV	MMUR		HN	A	Geologia di superficie		68.7	69.1	10.23	0.7026	8.786	0.2368	32.96	1.947
IV	BLLA		EH	D	Geologia di superficie		69.8	70.3	4.864	0.6013	3.857	0.05329	43.55	1.093
IT	SNM	00	HG	B	Geologia di superficie		70.7	71.1	3.472	0.542	6.247	0.03235	42.21	1.416
IV	CING		HN	A	Geologia di superficie		71.6	72.0	4.677	0.4058	3.606	0.03662	28.92	1.318
IT	APNO	00	HN				72.2	72.5	18.76	1.181	12.65	0.5625	33.31	4.446
IV	FRON		EH	B	Geologia di superficie		73.1	73.5	5.105	0.5455	6.843	0.06489	28.10	0.4968

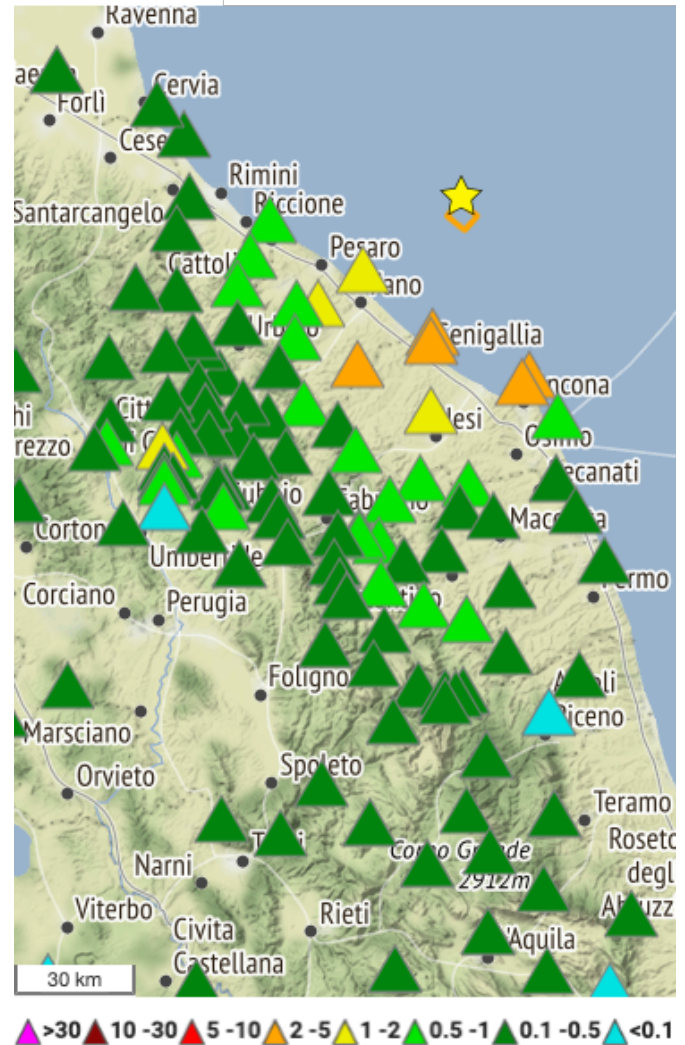
Rete	Staz	Sens	Inst	EC8	Metodo	Vs30 [m/s]	Repi [km]	Rhyp [km]	PGA-H [cm/s ²]	PGV-H [cm/s]	SA-H T=1s [cm/s ²]	IA-H [cm/s]	T90-H [s]	SA-H T=5s [cm/s ²]
IV	PP3		HN	C	Geologia di superficie		74.2	74.6	9.338	0.6364	8.810	0.1696	46.14	1.456
IV	PP3		EH	C	Geologia di superficie		74.2	74.6	8.212	0.6793	9.324	0.1646	51.64	1.624
IT	MCR	00	HG	C	Geologia di superficie		74.2	74.6	15.26	0.6683	4.372	0.4942	20.83	0.4003
IV	NARO		HH	B	Geologia di superficie		74.6	75.0	4.925	0.3808	6.048	0.03301	25.45	0.3402
IT	CAGL	00	HN	B	Topografia	563	75.0	75.3	5.834	0.4691	5.620	0.08697	24.62	0.4132
IT	URBN	00	HN				75.1	75.4	9.464	0.6201	6.823	0.1566	26.54	0.5527
IV	PE3		EH	B	Geologia di superficie		75.3	75.6	8.487	0.9681	10.18	0.2384	24.69	0.993
IV	SSFR		HN	C	Geologia di superficie		77.5	77.9	11.51	0.5744	5.394	0.310	22.93	0.6086
IV	TRE1		HN	B	Geologia di superficie		78.0	78.3	9.839	0.8054	7.440	0.2317	36.87	2.115
IV	EL6		EH	B	Geologia di superficie		78.0	78.4	9.516	0.710	8.041	0.1437	37.81	3.289
IT	CES	00	HN	C	Geologia di superficie		78.1	78.5	10.03	0.7369	11.17	0.1141	36.69	0.7236
IT	MCT	00	HN	C	Geologia di superficie		80.4	80.8	12.58	0.8555	9.541	0.4111	39.50	2.572
IT	PIBC	00	HN	B	Topografia	526	80.5	80.9	6.680	0.346	2.555	0.08027	21.48	0.2139
IT	FBR	00	HG	C	Geologia di superficie		81.4	81.8	9.004	0.7029	9.523	0.157	25.16	1.068
IT	CNTN	00	HN	B	Topografia	489	82.0	82.3	10.00	0.474	5.163	0.1417	20.58	0.4202
IV	PIEI		HH	A	Geologia di superficie		82.7	83.1	10.47	0.4502	3.205	0.112	20.21	0.4796
IV	PIEI		HN	A	Geologia di superficie		82.7	83.1	10.25	0.4569	3.424	0.108	20.94	0.3811
IV	SAIV		HN	B	Topografia	495	82.8	83.2	8.841	0.4245	4.395	0.07131	23.84	0.3274
IV	ATSC		EH	A	Geologia di superficie		83.2	83.5	10.53	0.4826	3.828	0.2598	24.61	0.5702
IV	CIMA		HN	B	Prova geofisica	443	83.5	83.8	7.130	0.7703	9.071	0.1496	41.86	2.384
IV	CPGN		HN	A	Geologia di superficie		83.9	84.3	4.256	0.3839	6.147	0.03908	30.81	0.6323
IV	CPGN		EH	A	Geologia di superficie		83.9	84.3	4.066	0.387	5.354	0.04015	31.16	0.8869
IV	ATBU		HN	B	Geologia di superficie		86.4	86.7	14.43	1.472	16.53	0.2933	24.36	0.9014
IV	MTL1		HN	C	Geologia di superficie		87.8	88.1	12.71	0.9523	14.31	0.2711	26.18	2.864

Componenti verticali

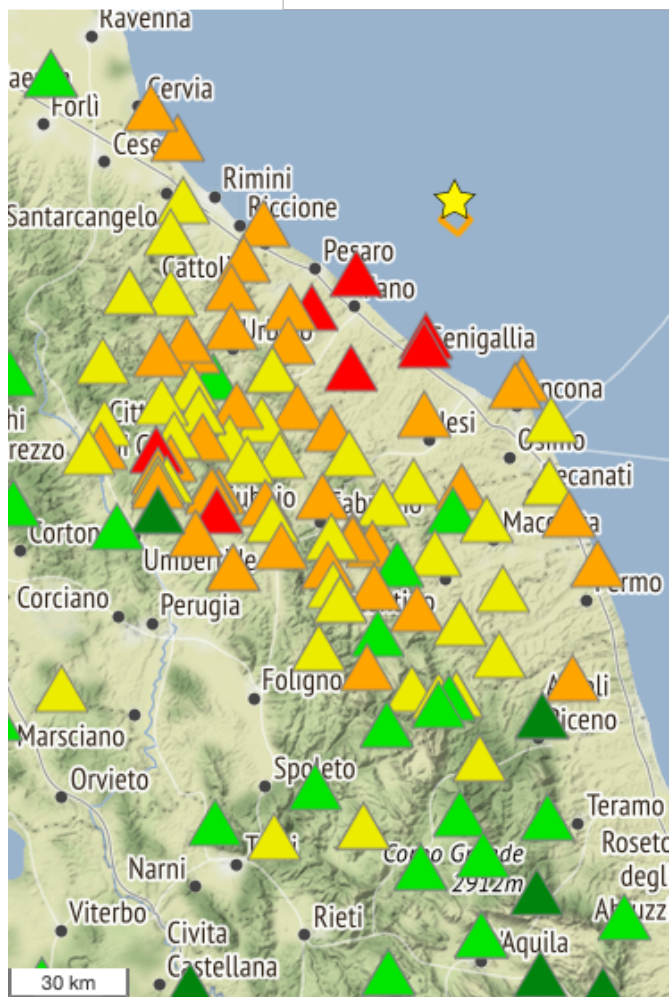
PGA-V [cm/s²]



PGV-V [cm/s]

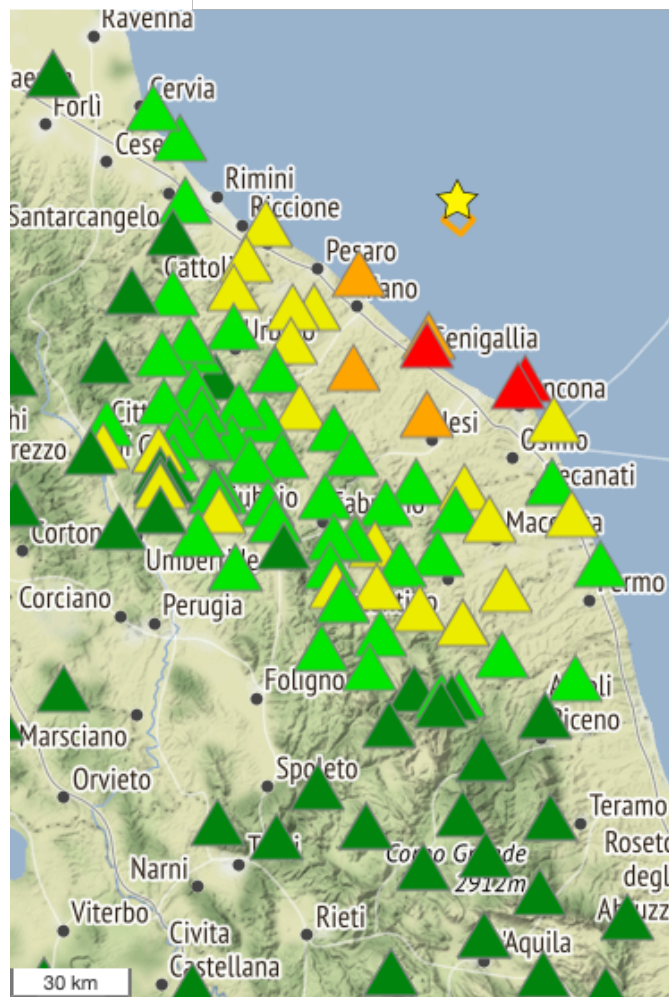


SA-V T=1s [cm/s²]



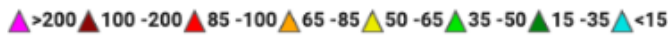
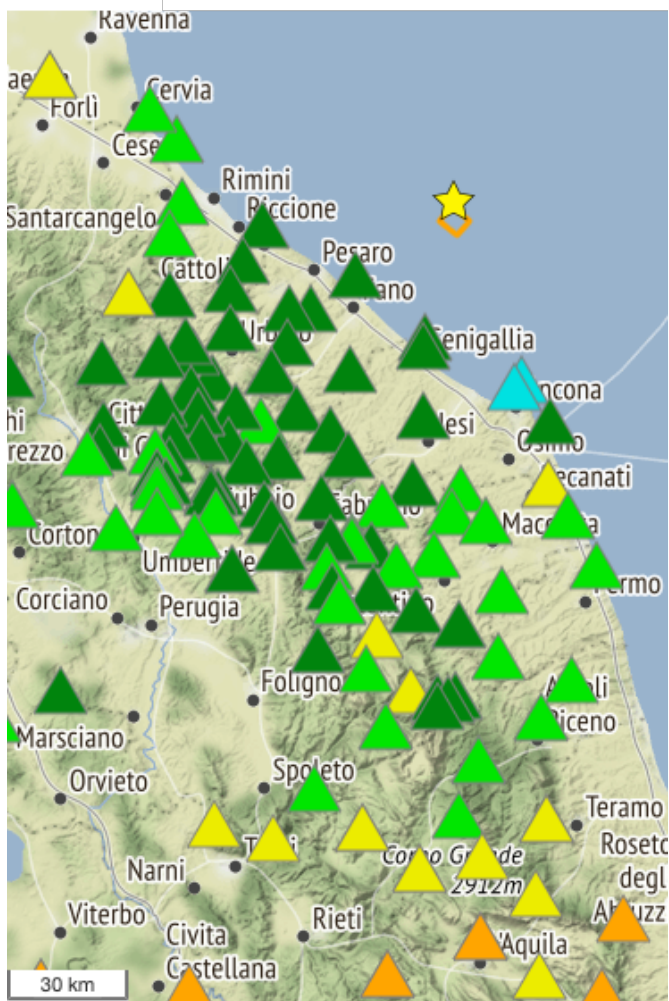
▲ >150 ▲ 50-150 ▲ 15-50 ▲ 5-15 ▲ 2.5-5 ▲ 1-2.5 ▲ 0.25-1 ▲ <0.25

IA-V [cm/s]

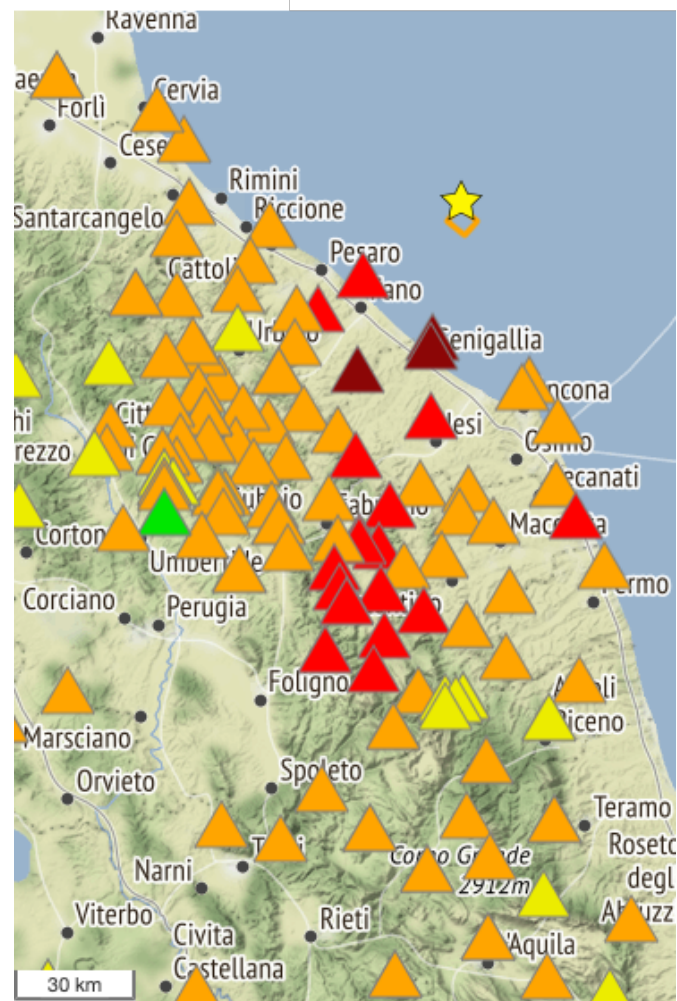


▲ >100 ▲ 10-100 ▲ 2-10 ▲ 0.5-2 ▲ 0.075-0.5 ▲ 0.02-0.075 ▲ 1e-5-0.02 ▲ <1e-5

T90-V [s]



SA-V T=5s [cm/s²]



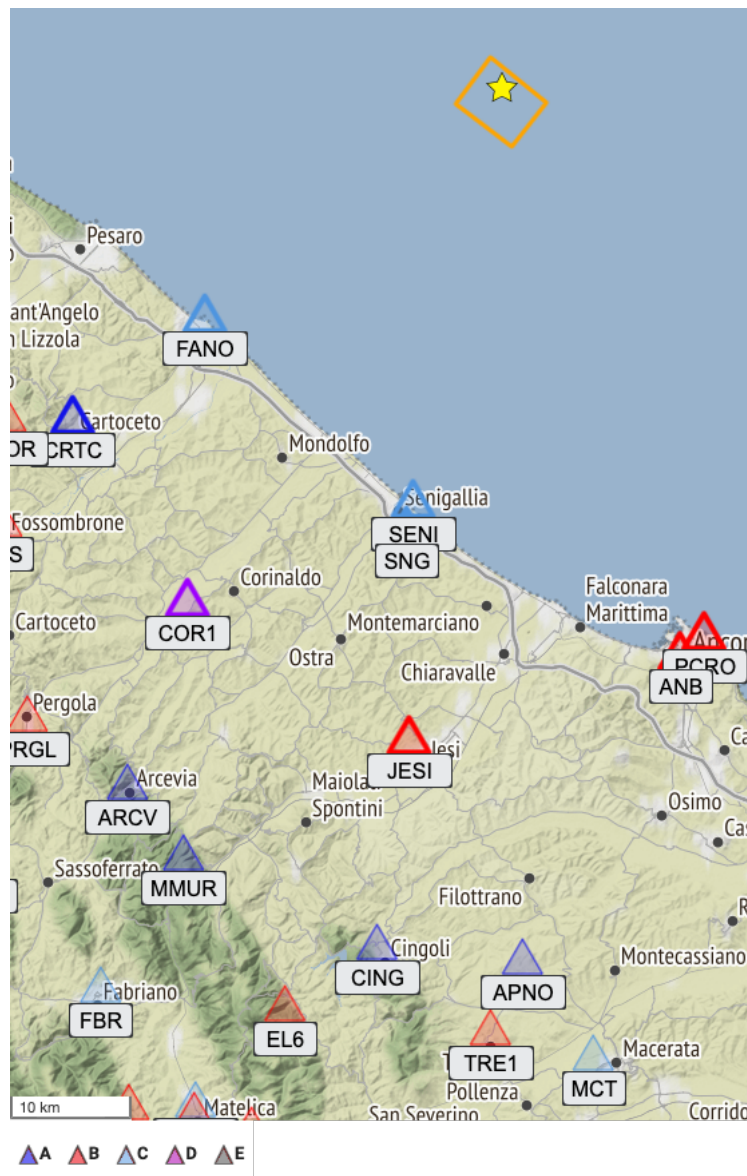
Dati registrazioni verticali

Rete	Staz	Sens	Inst	EC8	Metodo	Vs30 [m/s]	Repi [km]	Rhyp [km]	PGA-V [cm/s ²]	PGV-V [cm/s]	SA-V T=1s [cm/s ²]	IA-V [cm/s]	T90-V [s]	SA-V T=5s [cm/s ²]
IV	FANO		HN	C	Topografia	321	30.9	31.8	25.32	1.656	28.77	1.418	21.75	1.842
IV	SENI		HN	C	Prova geofisica	242	35.0	35.8	32.60	2.381	22.23	1.703	16.38	7.351
IT	SNG	00	HG	C	Prova geofisica	258	37.2	38.0	54.87	2.928	19.28	3.858	16.27	7.949
IV	CRTC		HN	A	Topografia	1005	44.6	45.3	17.13	1.133	16.81	0.4861	20.86	1.649
IT	CTL	00	HN	C	Prova geofisica	208	47.6	48.2	11.06	0.7156	7.049	0.2967	31.71	0.4436
IV	PCRO		HN	B	Geologia di superficie		48.1	48.7	80.14	2.106	6.892	3.094	8.755	0.8924
IT	ANB	00	HG	B	Geologia di superficie		49.0	49.6	53.41	2.914	8.918	3.729	8.910	1.074
IV	FCOR		HN	B	Topografia	370	49.1	49.6	7.713	0.646	12.65	0.1502	26.46	1.166
IV	COR1		HN	D	Geologia di superficie		49.7	50.3	14.77	2.358	43.39	0.6501	29.29	7.458
IT	JESI	00	HN	B	Topografia	415	54.3	54.8	13.62	1.728	9.647	0.5243	33.30	4.540
IT	SLD	00	HG	B	Geologia di superficie		54.4	54.9	11.12	0.7503	8.138	0.4304	23.20	0.9989
IT	FSS	00	HG	B	Geologia di superficie		54.7	55.2	6.015	0.5818	6.216	0.09607	23.82	0.8899
IV	MCIF		HN	B	Topografia	495	59.9	60.4	11.33	0.7151	7.724	0.2352	28.41	0.6544
IT	SRL	00	HG	C	Prova geofisica	272	59.9	60.4	13.81	0.7399	4.025	0.2286	15.94	0.5843
IV	MPAG		HN	A	Geologia di superficie		62.3	62.7	4.853	0.4108	4.964	0.03168	22.61	0.4822
IV	MPAG		EH	A	Geologia di superficie		62.3	62.7	4.843	0.4185	4.996	0.03295	25.66	0.5059
IT	URBI	00	HN	A	Topografia	814	64.0	64.4	4.456	0.3519	6.002	0.05039	30.01	0.348
IT	PRGL	00	HN	B	Topografia	368	65.1	65.6	10.66	0.6616	5.628	0.2062	26.75	0.8116
IT	ARCV	00	HN	A	Topografia	1018	65.3	65.8	3.482	0.4846	5.147	0.03334	34.19	1.263
IT	RIM	00	HN	B	Geologia di superficie		67.2	67.6	5.269	0.3128	4.026	0.05866	36.81	0.5706
IV	MMUR		HN	A	Geologia di superficie		68.7	69.1	5.653	0.5366	4.089	0.06328	33.09	2.221
IV	BLLA		EH	D	Geologia di superficie		69.8	70.3	3.094	0.4394	7.051	0.02431	43.50	1.300
IT	SNM	00	HG	B	Geologia di superficie		70.7	71.1	1.502	0.2374	2.598	0.009489	44.60	0.5835
IV	CING		HN	A	Geologia di superficie		71.6	72.0	3.578	0.5249	2.533	0.02745	32.28	1.489
IT	APNO	00	HN				72.2	72.5	10.28	0.6039	5.946	0.1949	38.22	0.7684
IV	FRON		EH	B	Geologia di superficie		73.1	73.5	2.829	0.4452	3.818	0.02253	36.06	0.5615

Rete	Staz	Sens	Inst	EC8	Metodo	Vs30 [m/s]	Repi [km]	Rhyp [km]	PGA-V [cm/s ²]	PGV-V [cm/s]	SA-V T=1s [cm/s ²]	IA-V [cm/s]	T90-V [s]	SA-V T=5s [cm/s ²]
IV	PP3		HN	C	Geologia di superficie		74.2	74.6	2.692	0.2986	3.712	0.04168	54.28	0.8391
IV	PP3		EH	C	Geologia di superficie		74.2	74.6	2.451	0.2953	3.715	0.04006	57.40	0.8062
IT	MCR	00	HG	C	Geologia di superficie		74.2	74.6	4.843	0.2704	2.728	0.0669	29.13	0.4918
IV	NARO		HH	B	Geologia di superficie		74.6	75.0	2.558	0.2698	2.496	0.01853	30.15	0.4851
IT	CAGL	00	HN	B	Topografia	563	75.0	75.3	4.249	0.3706	6.979	0.0525	28.67	0.583
IT	URBN	00	HN				75.1	75.4	4.397	0.3616	6.683	0.05399	30.84	0.4893
IV	PE3		EH	B	Geologia di superficie		75.3	75.6	4.710	0.4529	5.902	0.05681	32.06	0.6442
IV	SSFR		HN	C	Geologia di superficie		77.5	77.9	4.326	0.3221	3.998	0.05597	27.59	0.8743
IV	TRE1		HN	B	Geologia di superficie		78.0	78.3	4.286	0.3203	2.440	0.06164	46.45	1.366
IV	EL6		EH	B	Geologia di superficie		78.0	78.4	4.564	0.5713	2.806	0.05745	40.96	3.673
IT	CES	00	HN	C	Geologia di superficie		78.1	78.5	2.474	0.2633	5.437	0.02336	43.43	0.4346
IT	MCT	00	HN	C	Geologia di superficie		80.4	80.8	5.850	0.4985	3.370	0.1069	40.65	1.152
IT	PIBC	00	HN	B	Topografia	526	80.5	80.9	4.257	0.2997	3.478	0.04509	24.77	0.4233
IT	FBR	00	HG	C	Geologia di superficie		81.4	81.8	5.076	0.4309	8.475	0.07016	27.23	1.293
IT	CNTN	00	HN	B	Topografia	489	82.0	82.3	6.397	0.4057	3.965	0.0426	25.60	0.4118
IV	PIEI		HH	A	Geologia di superficie		82.7	83.1	5.275	0.3857	3.120	0.05026	16.76	0.4692
IV	PIEI		HN	A	Geologia di superficie		82.7	83.1	5.066	0.3756	3.041	0.04602	16.72	0.4592
IV	SAIV		HN	B	Topografia	495	82.8	83.2	4.223	0.4644	5.227	0.03776	34.12	0.4656
IV	ATSC		EH	A	Geologia di superficie		83.2	83.5	4.657	0.3356	4.847	0.06739	25.03	0.6822
IV	CIMA		HN	B	Prova geofisica	443	83.5	83.8	4.570	0.3593	5.914	0.07856	46.31	1.547
IV	CPGN		HN	A	Geologia di superficie		83.9	84.3	1.948	0.2111	2.908	0.01185	51.82	0.6295
IV	CPGN		EH	A	Geologia di superficie		83.9	84.3	1.875	0.2974	3.012	0.01179	51.60	0.9075
IV	ATBU		HN	B	Geologia di superficie		86.4	86.7	4.351	0.425	6.966	0.04584	29.57	0.5862
IV	MTL1		HN	C	Geologia di superficie		87.8	88.1	4.803	0.4978	7.138	0.08017	38.40	2.379

Registrazioni selezionate

Rete	Stazione	ID sensore	Nome stazione	Repi [km]	Strumento	PGA-H
IV	FANO		Fano	30.9	HN	52.61
IV	SENI		Senigallia	35.0	HN	139.2
IT	SNG	00	SENIGALLIA	37.2	HG	130.3
IV	CRTC		Cartoceto	44.6	HN	22.41
IV	PCRO		Pietralacroce Ancona	48.1	HN	197.8
IT	ANB	00	ANCONA 2	49.0	HG	166.4
IV	COR1		Corinaldo	49.7	HN	31.61
IT	JESI	00	JESI	54.3	HN	38.41

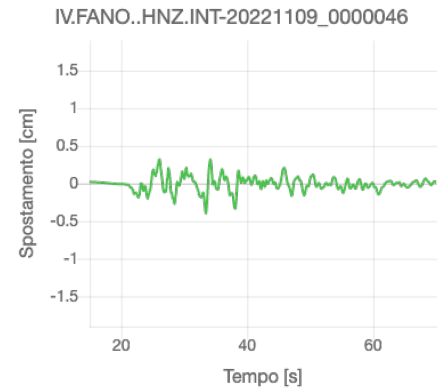
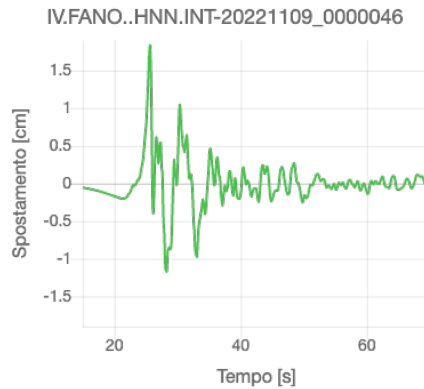
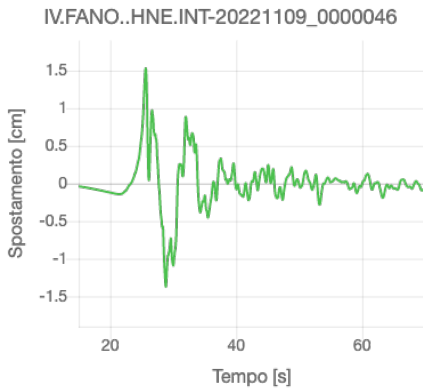
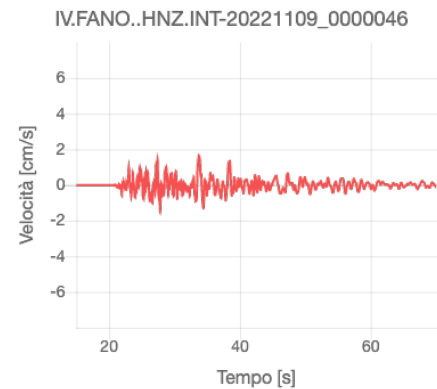
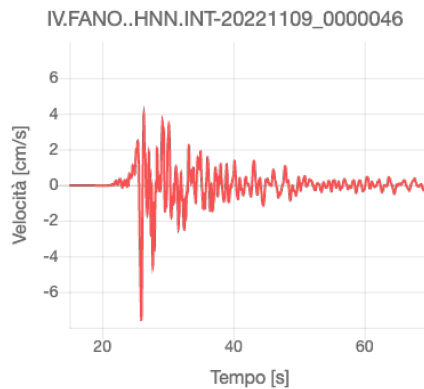
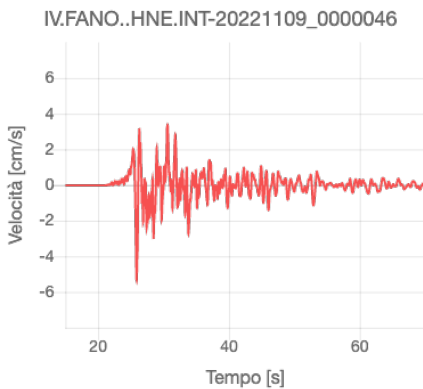
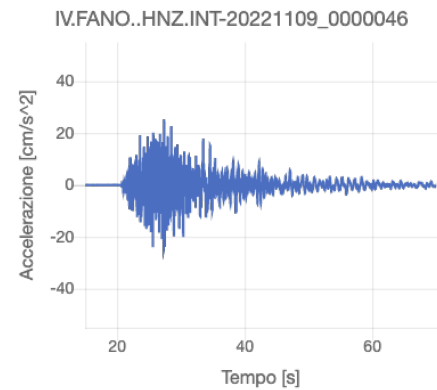
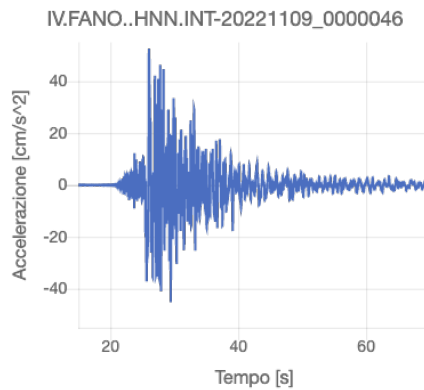
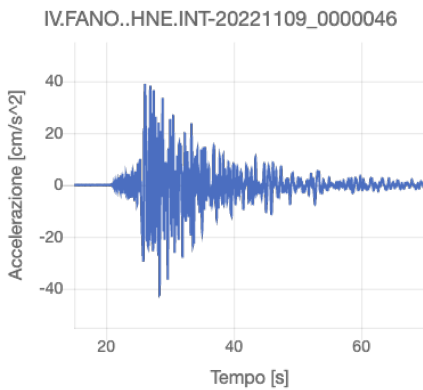


IV.FANO. (Fano)

Codice rete: IV
Stazione: FANO
ID sensore:
Processamento: manuale (Paolucci et al., 2011)
Rjb [km]: 28.0
Rrup [km]: 29.0
Classe EC8:C

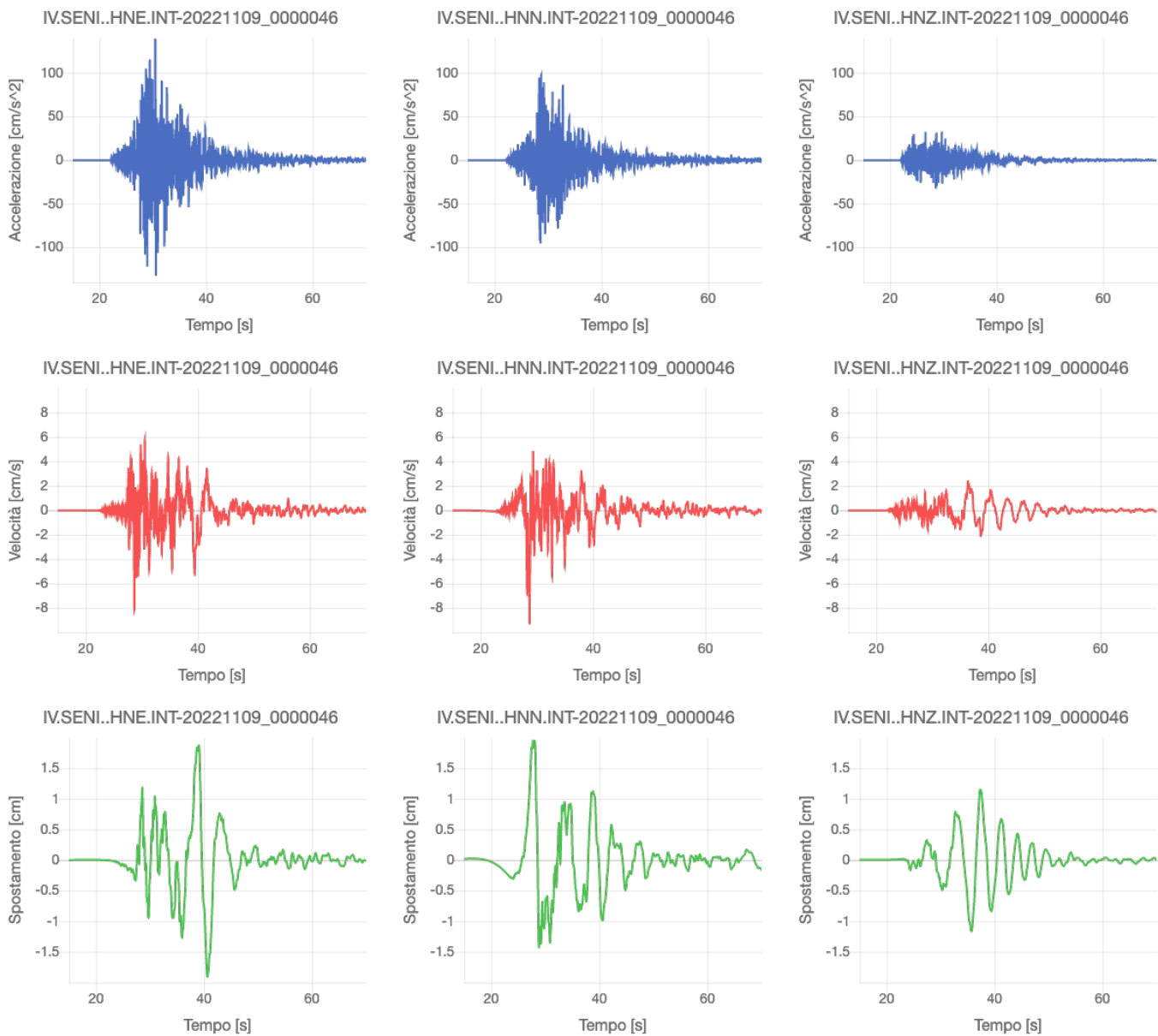
Descrizione rete:
Nome stazione:
Strumento:
Repi [km]: 30.9
Rhyp [km]: 31.8
Vs30 [m/s]: 321

Italian National Seismic Network (INSN)
 Fano
 HN



IV.SENI. (Senigallia)

Codice rete:	IV	Descrizione rete:	Italian National Seismic Network (INSN)
Stazione:	SENI	Nome stazione:	Senigallia
ID sensore:		Strumento:	HN
Processamento:	manuale (Paolucci et al., 2011)		
Rjb [km]:	31.6	Repi [km]:	35.0
Rrup [km]:	32.5	Rhyp [km]:	35.8
Classe EC8:C		Vs30 [m/s]:	242

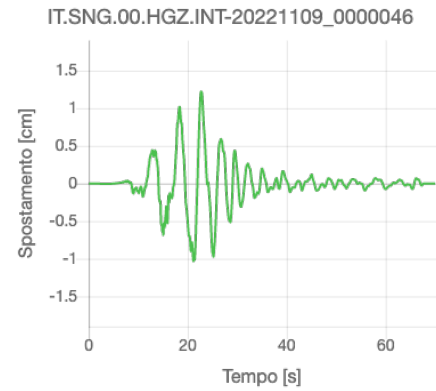
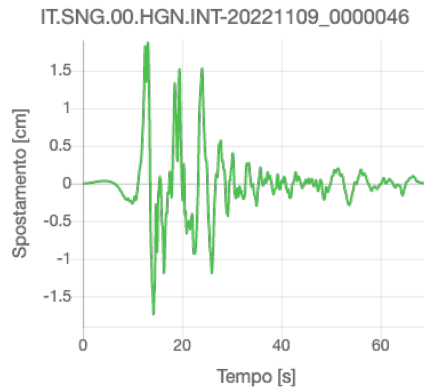
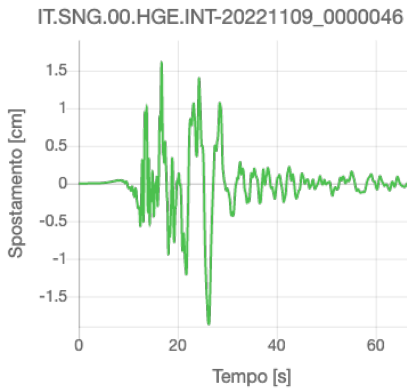
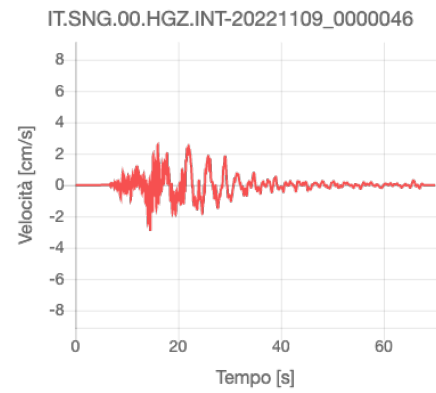
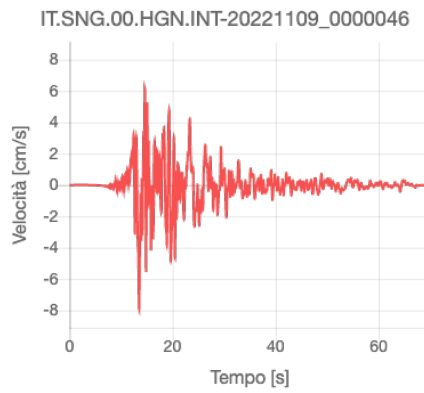
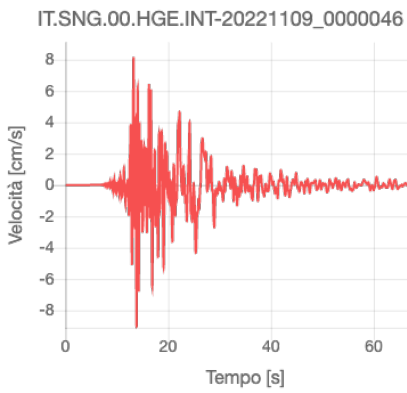
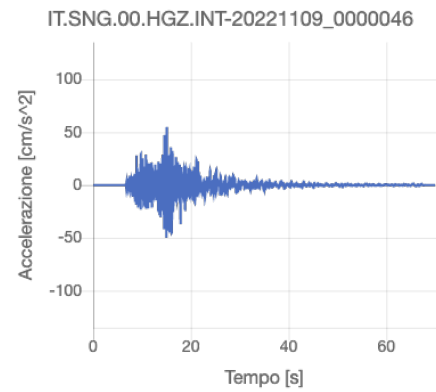
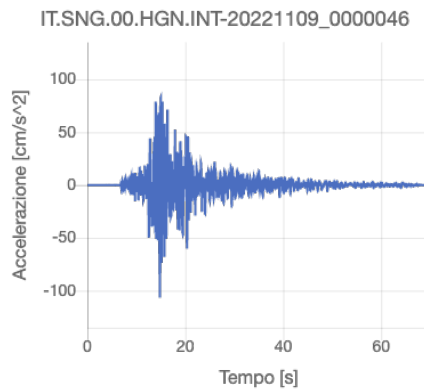
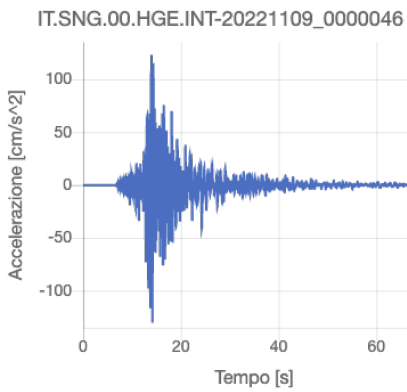


IT.SNG.00 (SENIGALLIA)

Codice rete: IT
Stazione: SNG
ID sensore: 00
Processamento: manuale (Paolucci et al., 2011)
Rjb [km]: 33.8
Rrup [km]: 34.7
Classe EC8: C

Descrizione rete:
Nome stazione:
Strumento:
Repi [km]: 37.2
Rhyp [km]: 38.0
Vs30 [m/s]: 258

Italian Strong Motion Network (RAN)
 SENIGALLIA
 HG

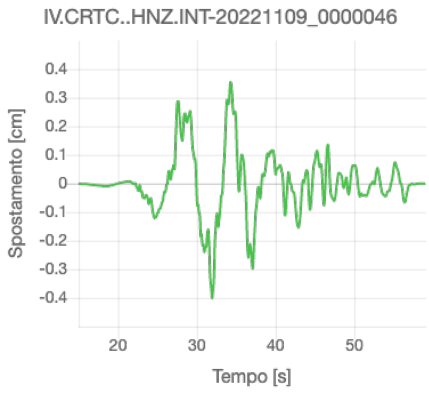
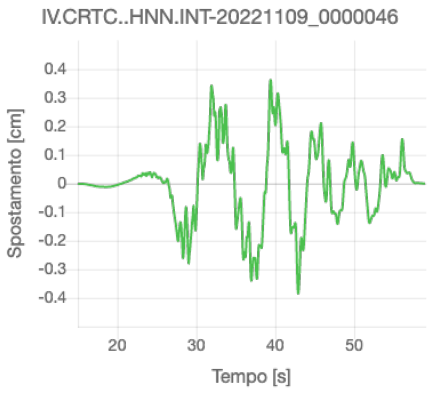
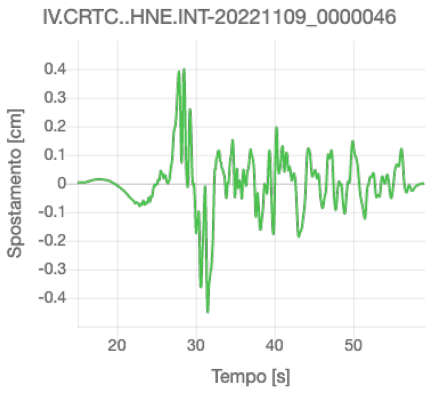
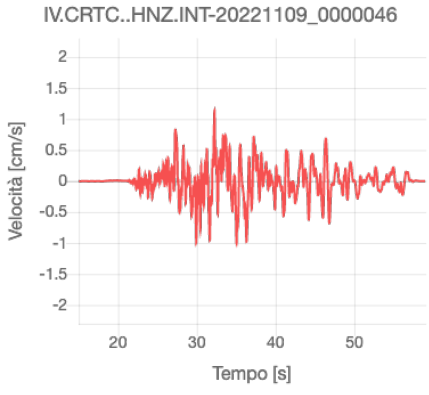
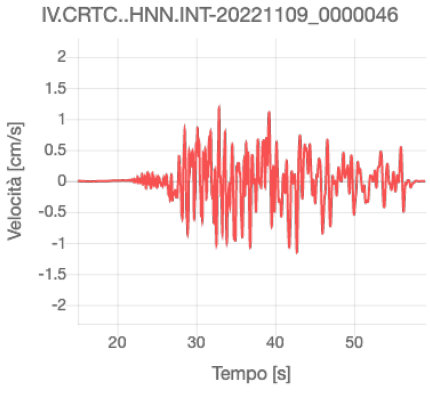
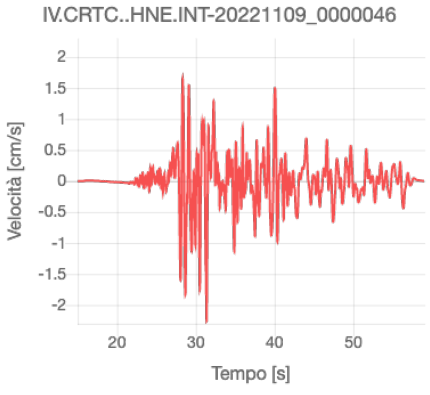
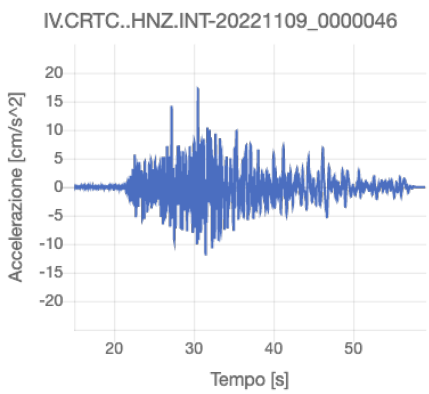
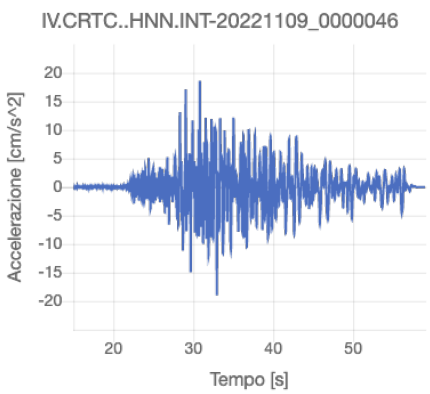
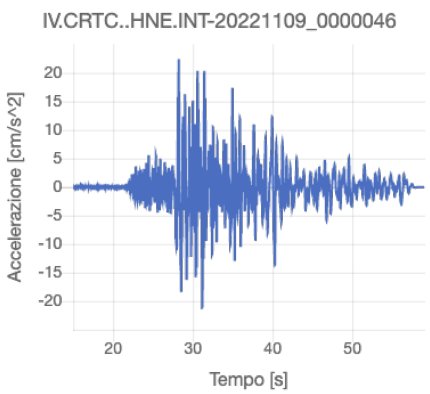


IV.CRTC. (Cartoceto)

Codice rete: IV
Stazione: CRTC
ID sensore:
Processamento: manuale (Paolucci et al., 2011)
Rjb [km]: 41.6
Rrup [km]: 42.3
Classe EC8:A

Descrizione rete:
Nome stazione:
Strumento:
Repi [km]: 44.6
Rhyp [km]: 45.3
Vs30 [m/s]: 1005

Italian National Seismic Network (INSN)
 Cartoceto
 HN

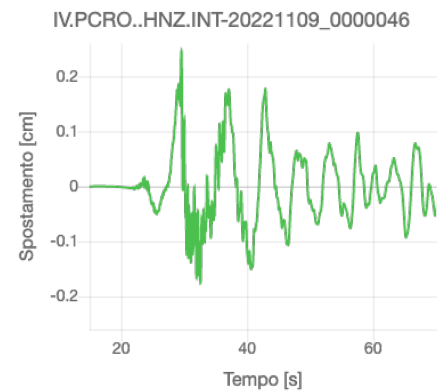
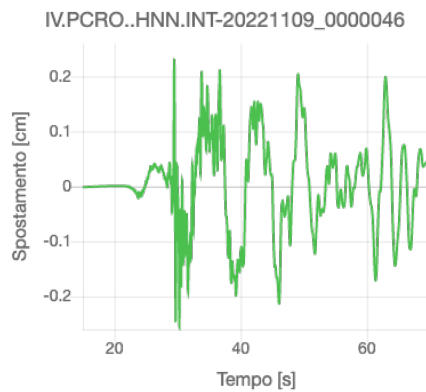
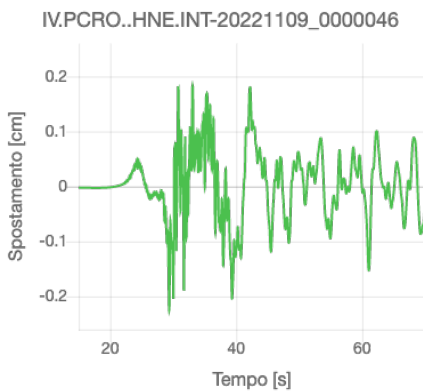
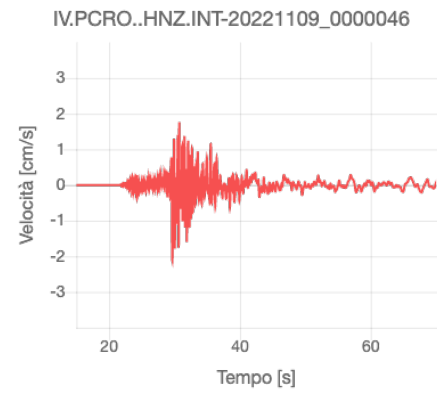
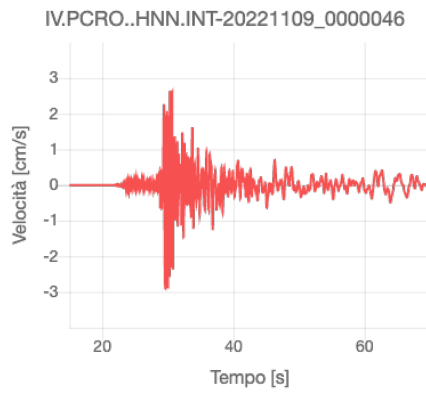
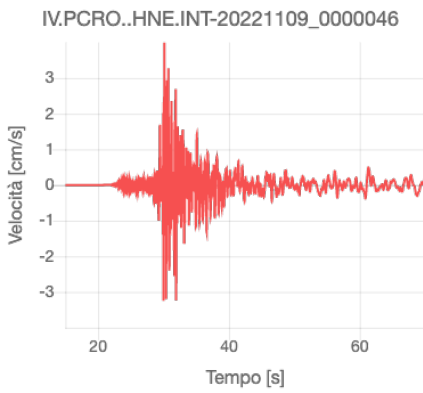
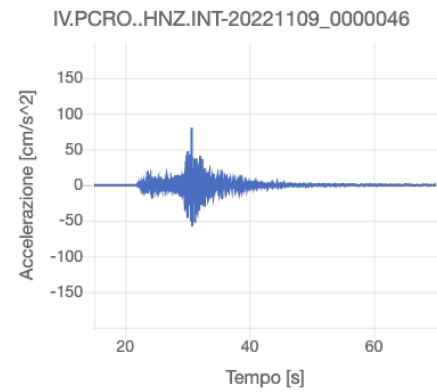
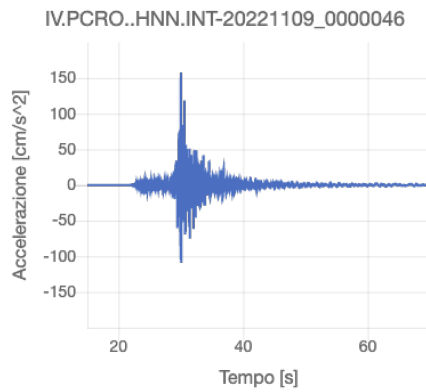
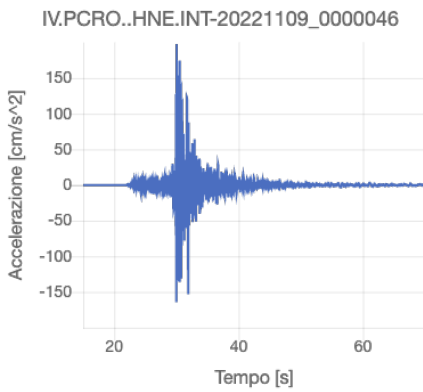


IV.PCRO. (Pietralacroce Ancona)

Codice rete: IV
Stazione: PCRO
ID sensore:
Processamento: manuale (Paolucci et al., 2011)
Rjb [km]: 44.3
Rrup [km]: 45.0
Classe EC8:B

Descrizione rete:
Nome stazione:
Strumento:
Repi [km]: 48.1
Rhyp [km]: 48.7
Vs30 [m/s]:

Italian National Seismic Network (INSN)
 Pietralacroce Ancona
 HN

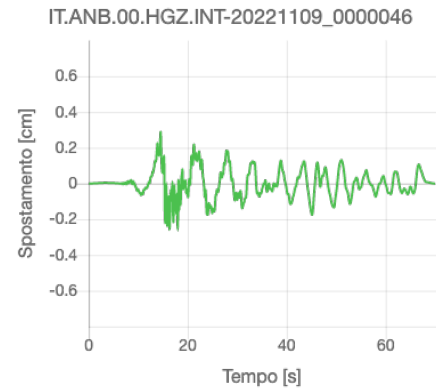
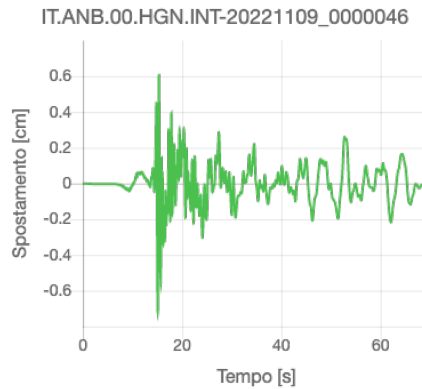
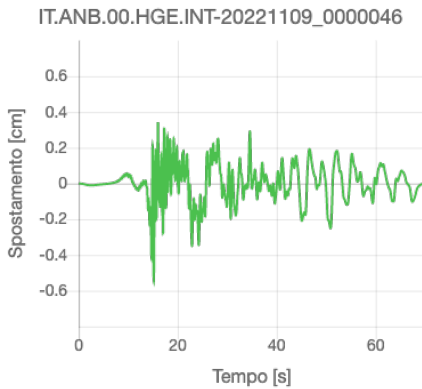
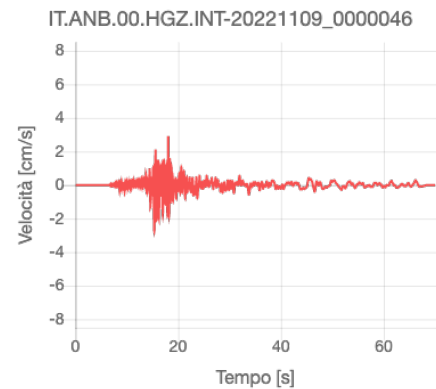
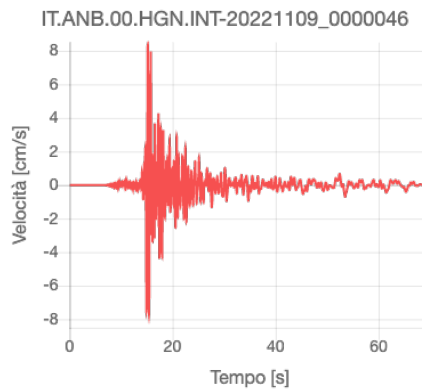
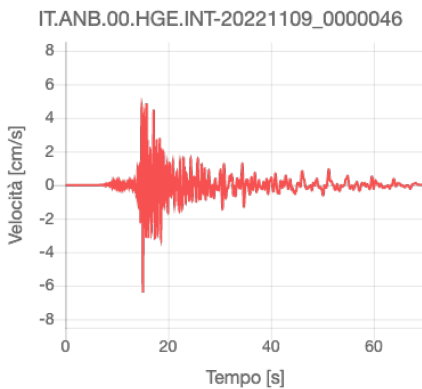
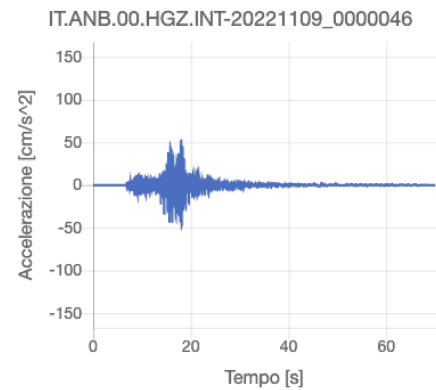
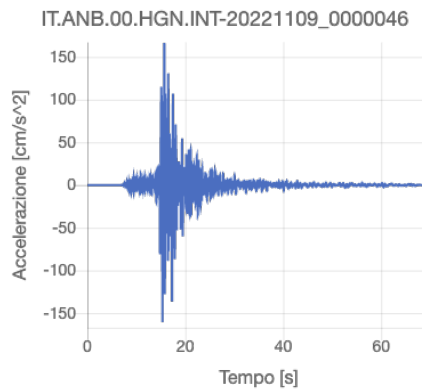
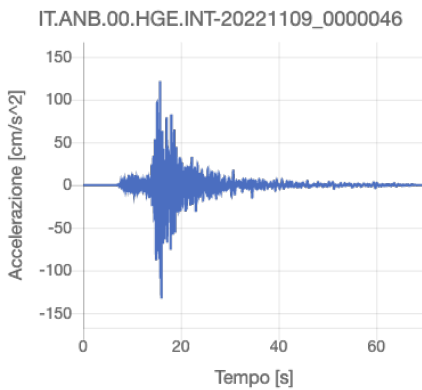
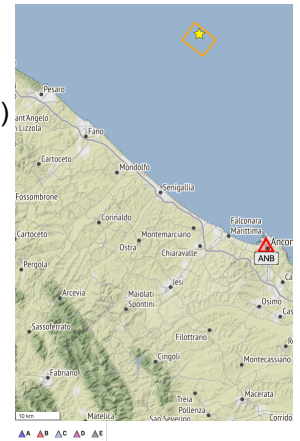


IT.ANB.00 (ANCONA 2)

Codice rete: IT
Stazione: ANB
ID sensore: 00
Processamento: manuale (Paolucci et al., 2011)
Rjb [km]: 45.3
Rrup [km]: 45.9
Classe EC8: B

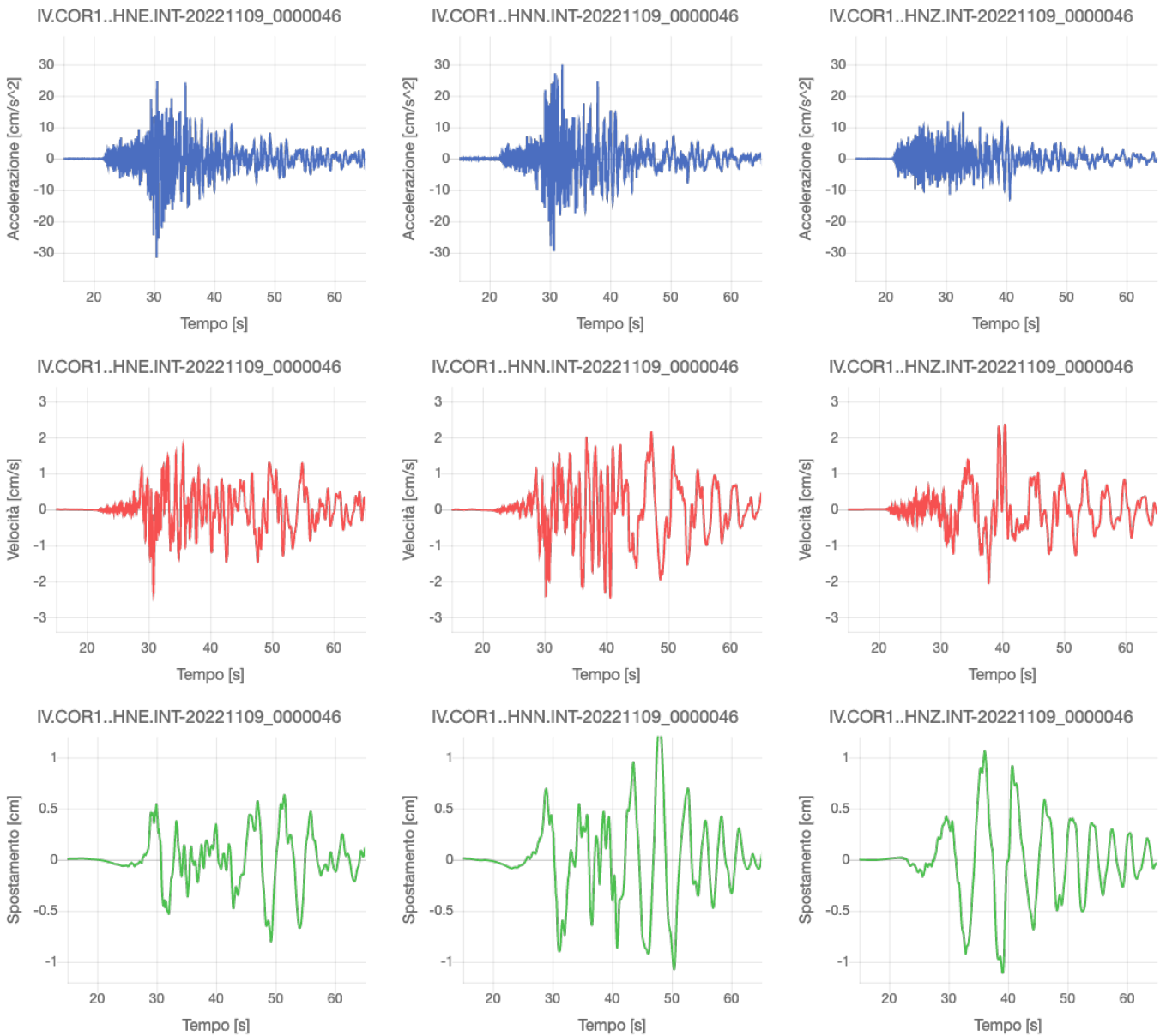
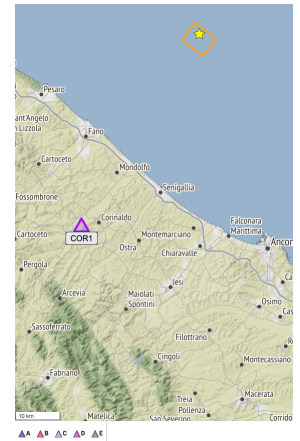
Descrizione rete:
Nome stazione:
Strumento:
Repi [km]: 49.0
Rhyp [km]: 49.6
Vs30 [m/s]:

Italian Strong Motion Network (RAN)
 ANCONA 2
 HG



IV.COR1. (Corinaldo)

Codice rete:	IV	Descrizione rete:	Italian National Seismic Network (INSN)
Stazione:	COR1	Nome stazione:	Corinaldo
ID sensore:		Strumento:	HN
Processamento:	manuale (Paolucci et al., 2011)		
Rjb [km]:	47.1	Repi [km]:	49.7
Rrup [km]:	47.7	Rhyp [km]:	50.3
Classe EC8:D		Vs30 [m/s]:	

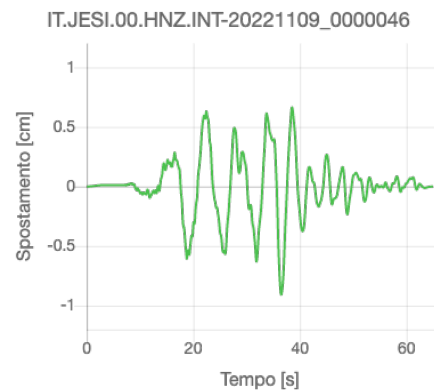
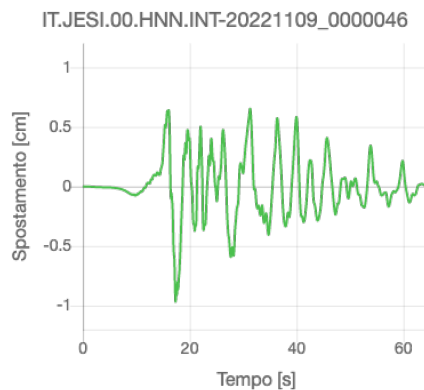
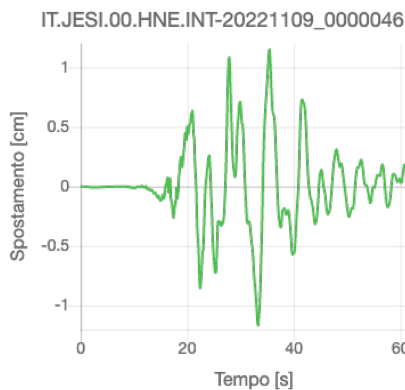
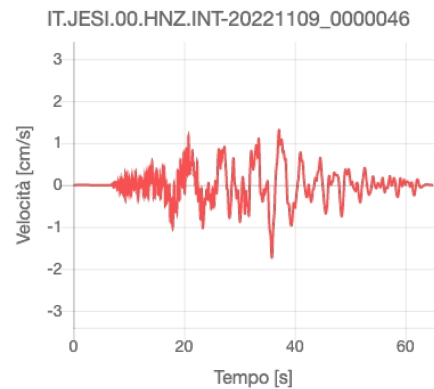
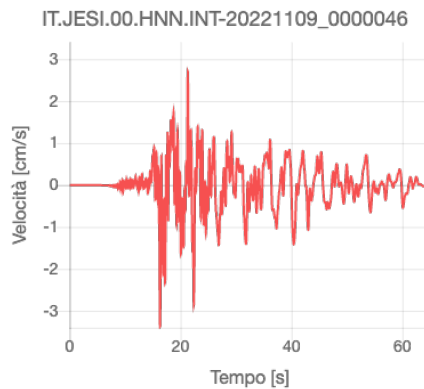
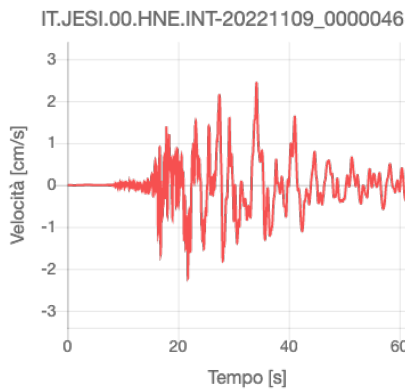
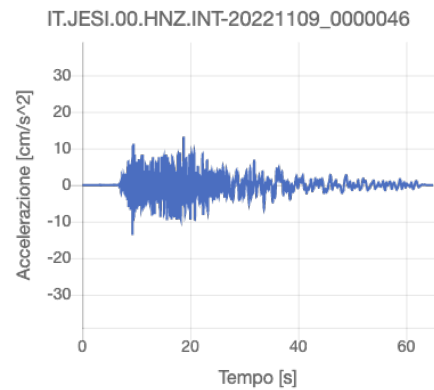
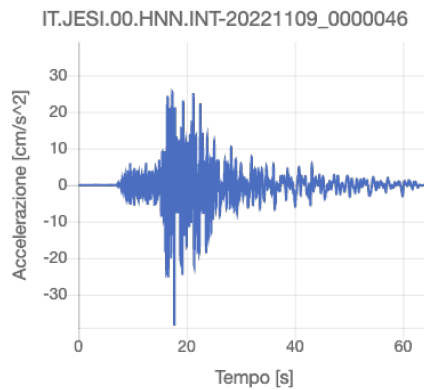
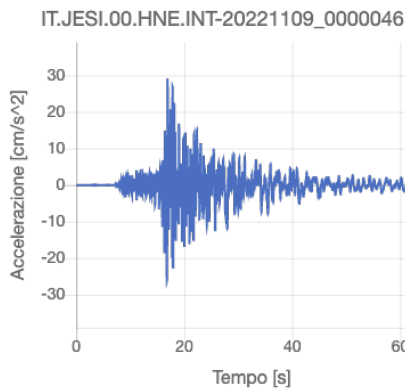
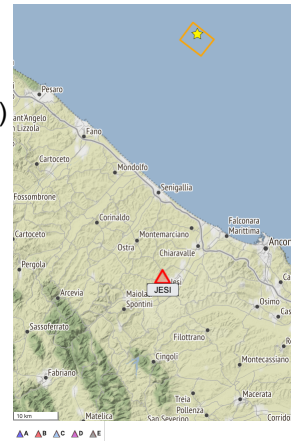


IT.JESI.00 (JESI)

Codice rete: IT
Stazione: JESI
ID sensore: 00
Processamento:
Rjb [km]: 50.8
Rrup [km]: 51.4
Classe EC8: B

Descrizione rete:
Nome stazione:
Strumento: manuale (Paolucci et al., 2011)
Repi [km]: 54.3
Rhyp [km]: 54.8
Vs30 [m/s]: 415

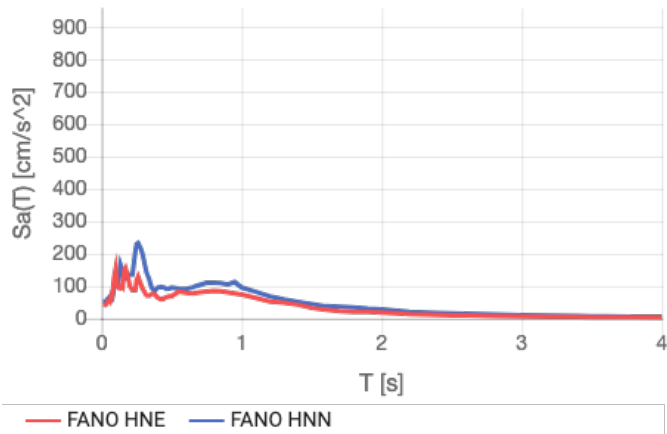
Italian Strong Motion Network (RAN)
JESI
HN



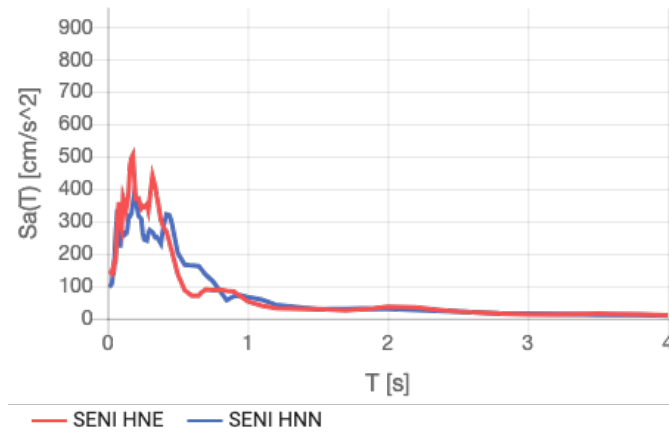
Componenti orizzontali

Target:

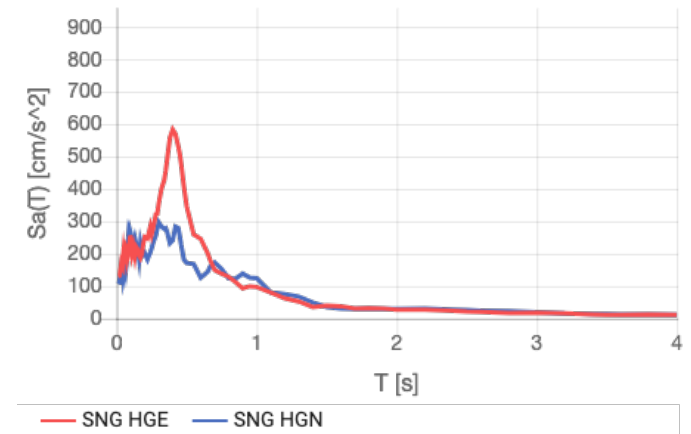
IV.FANO. Soil class: C



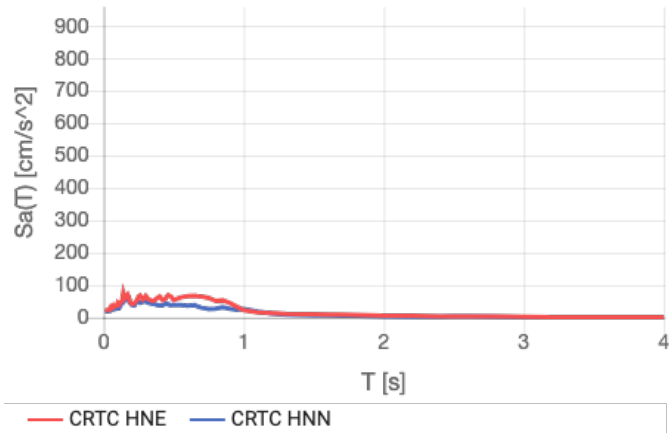
IV.SENI. Soil class: C



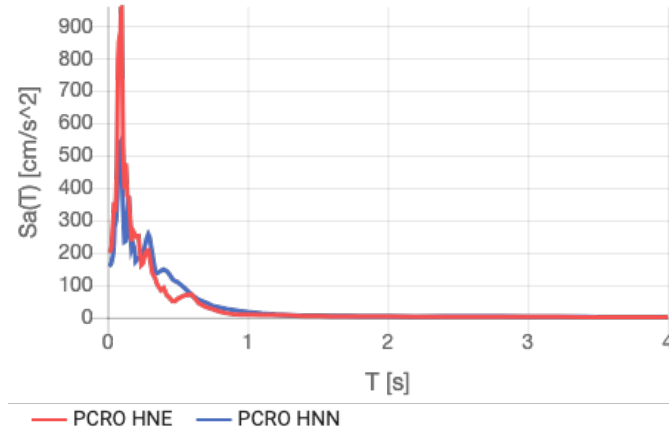
IT.SNG.00 Soil class: C



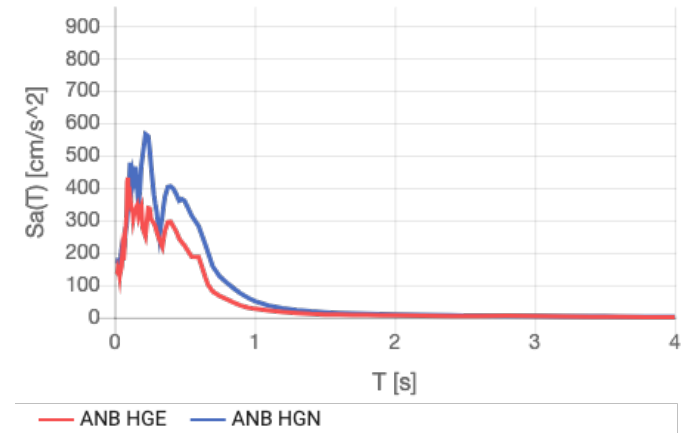
IV.CRTC. Soil class: A



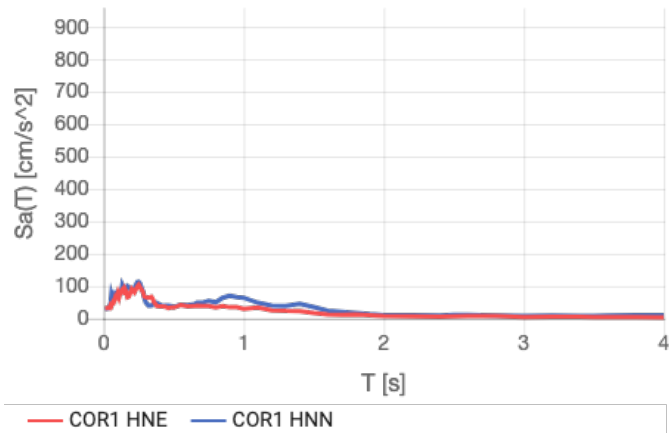
IV.PCRO. Soil class: B



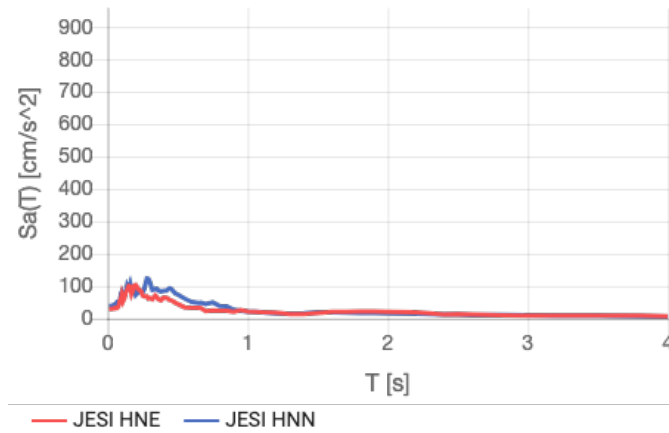
IT.ANB.00 Soil class: B



IV.COR1. Soil class: D



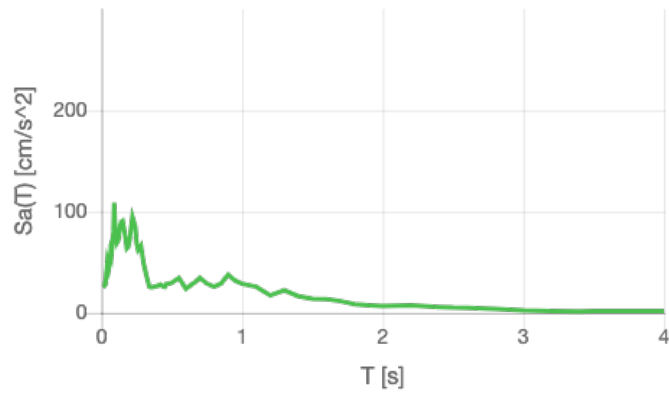
IT.JESI.00 Soil class: B



Componenti verticali

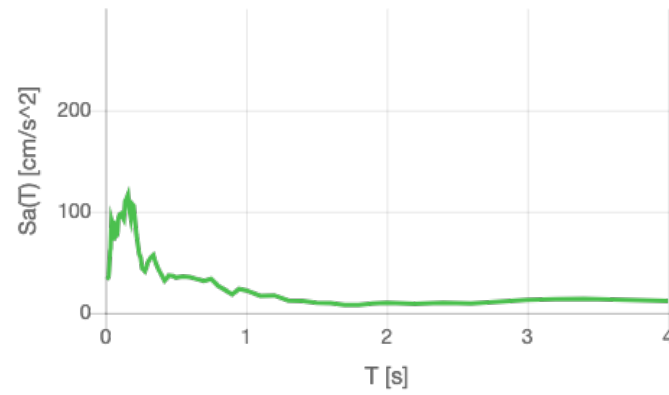
Target:

IV.FANO. Soil class: C



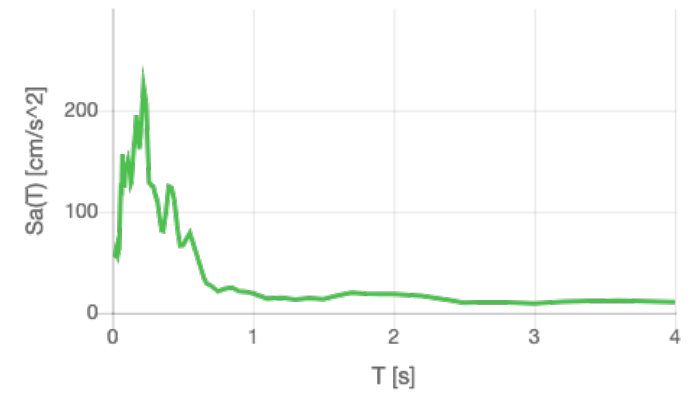
FANO HNZ

IV.SENI. Soil class: C



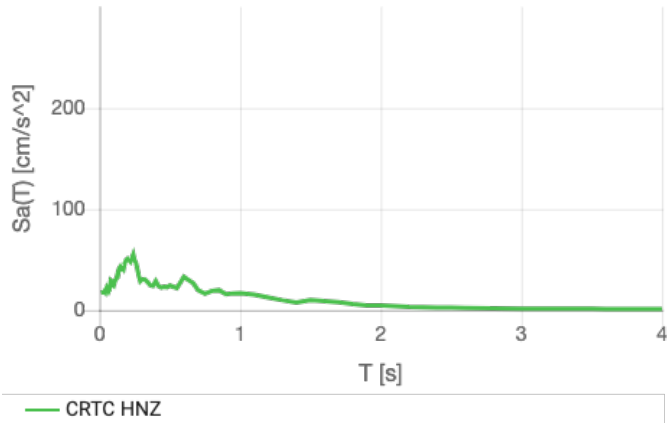
SENI HNZ

IT.SNG.00 Soil class: C

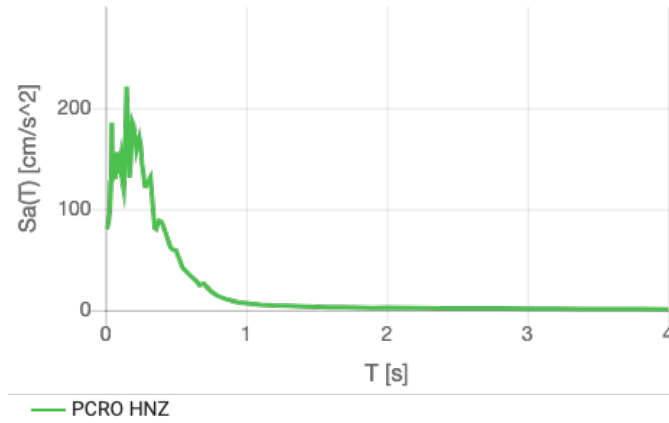


SNG HGZ

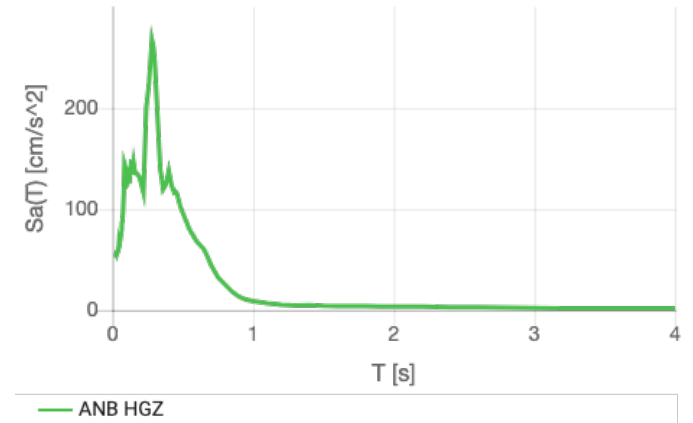
IV.CRTC. Soil class: A



IV.PCRO. Soil class: B



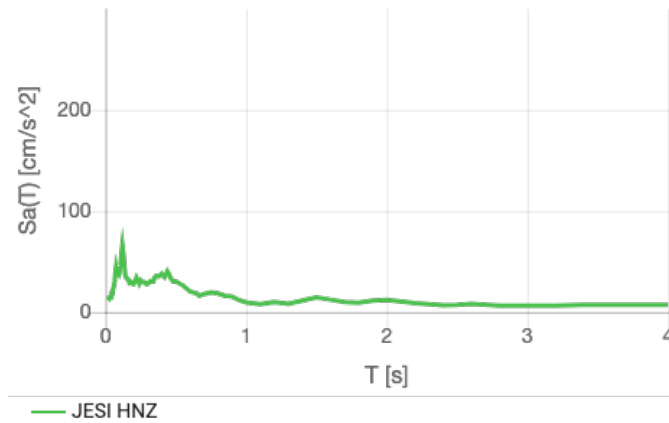
IT.ANB.00 Soil class: B



IV.COR1. Soil class: D

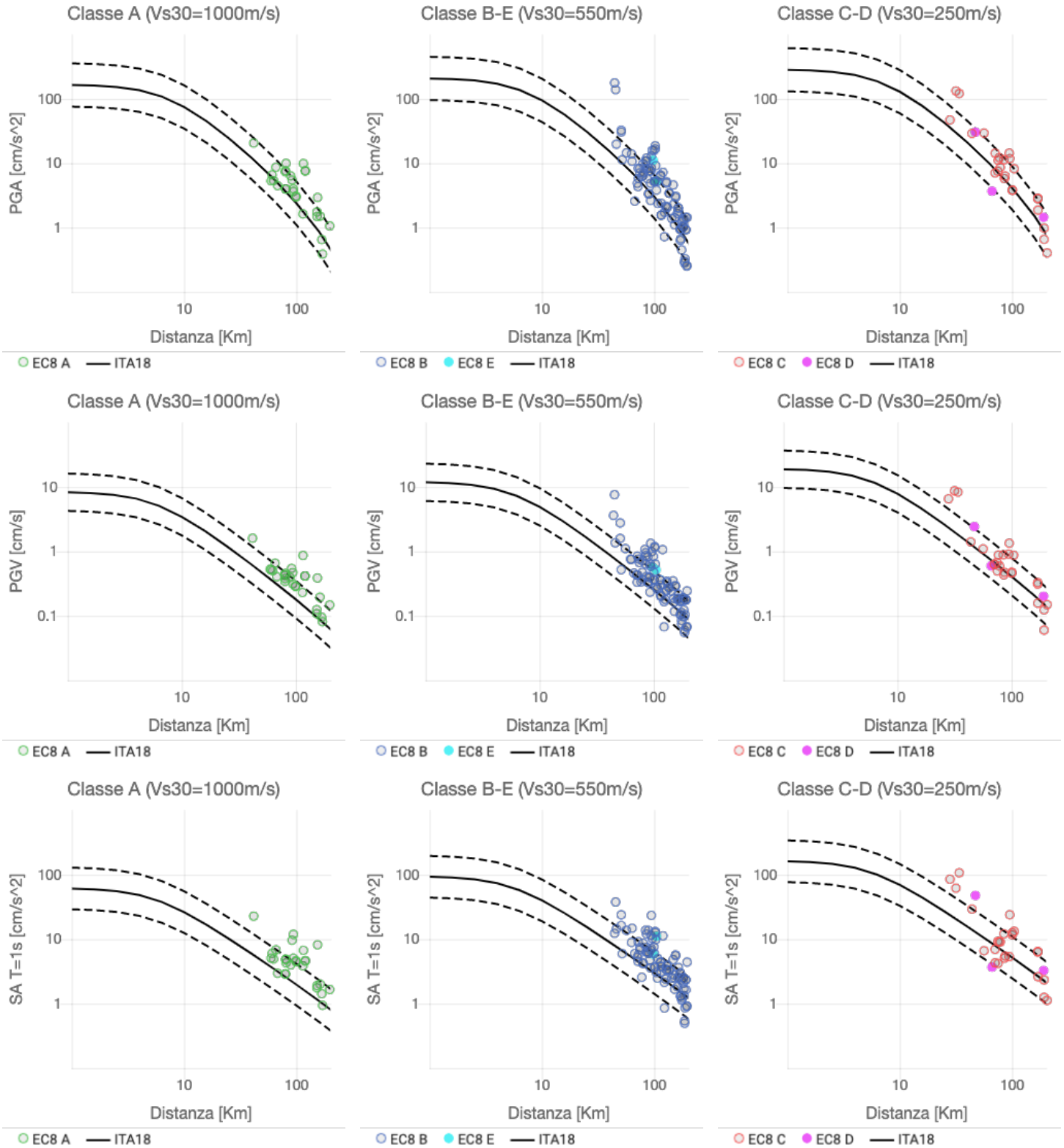


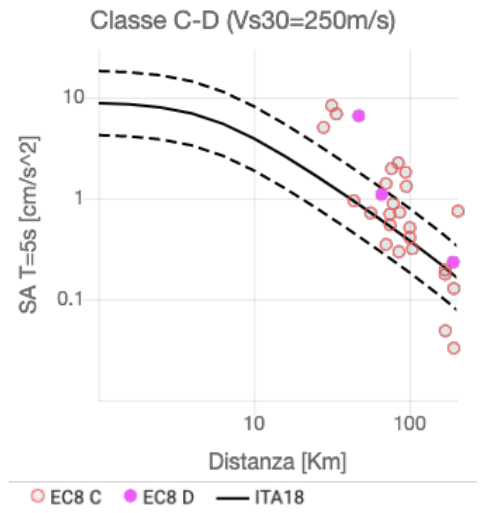
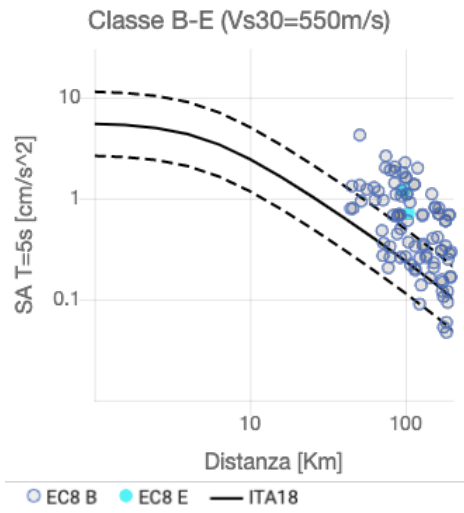
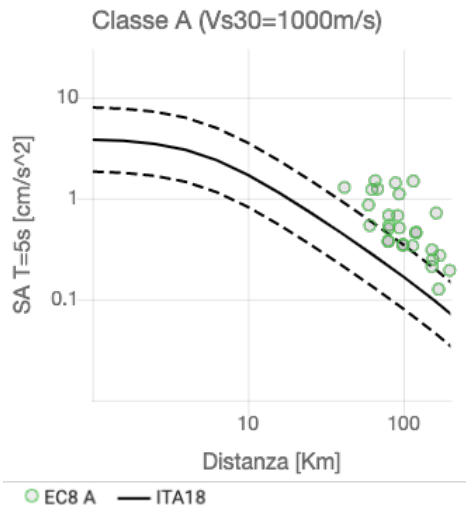
IT.JESI.00 Soil class: B



Componenti orizzontali

Regime sismotettonico: Crosta attiva poco profonda
 Distance metric: Rjb
 Ground motion model: ITA18





Componenti verticali

Regime sismotettonico: Crosta attiva poco profonda
 Distance metric: Rjb
 Ground motion model: ITA18

